



UVSORワークショップ
2002年
3月5日

HiSORにおけるd,f電子系の 高分解能低温光電子分光

広島大学放射光科学研究センター
島田賢也

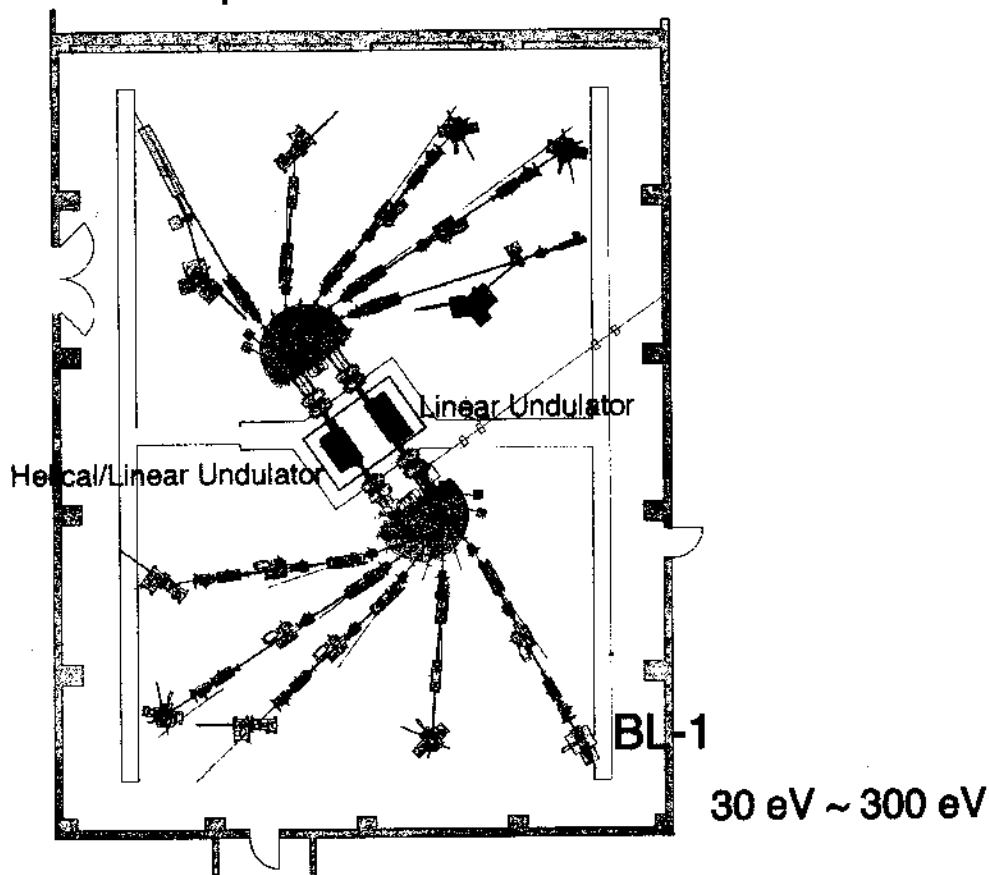
内容

1. HiSORリニアアンジュレータービームライン BL-1
2. 高分解能低温角度分解光電子分光装置の現状
3. HiSOR BL-1 共同利用研究 (H13.11~H14.2)
4. 今後の展望

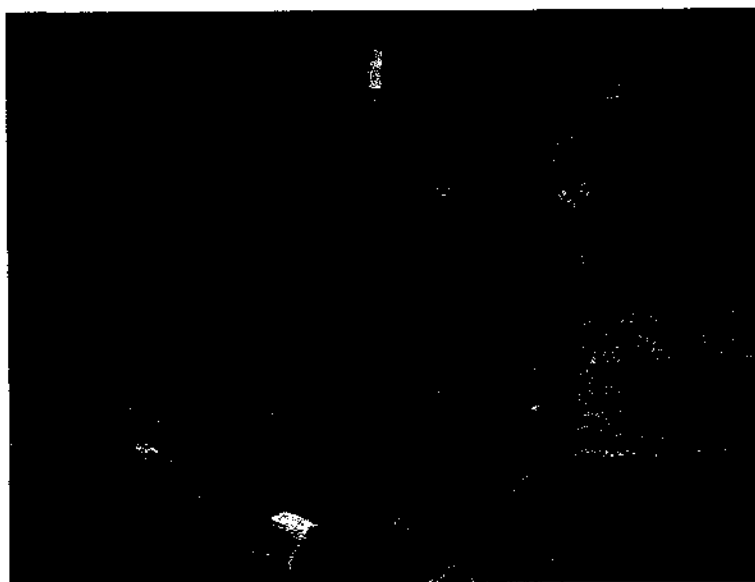


Hiroshima Synchrotron Radiation Center
 Compact Electron Storage Ring "HiSOR"
 Electron beam energy: 700 MeV
 Maximum beam current: 200 mA

Experimental Hall



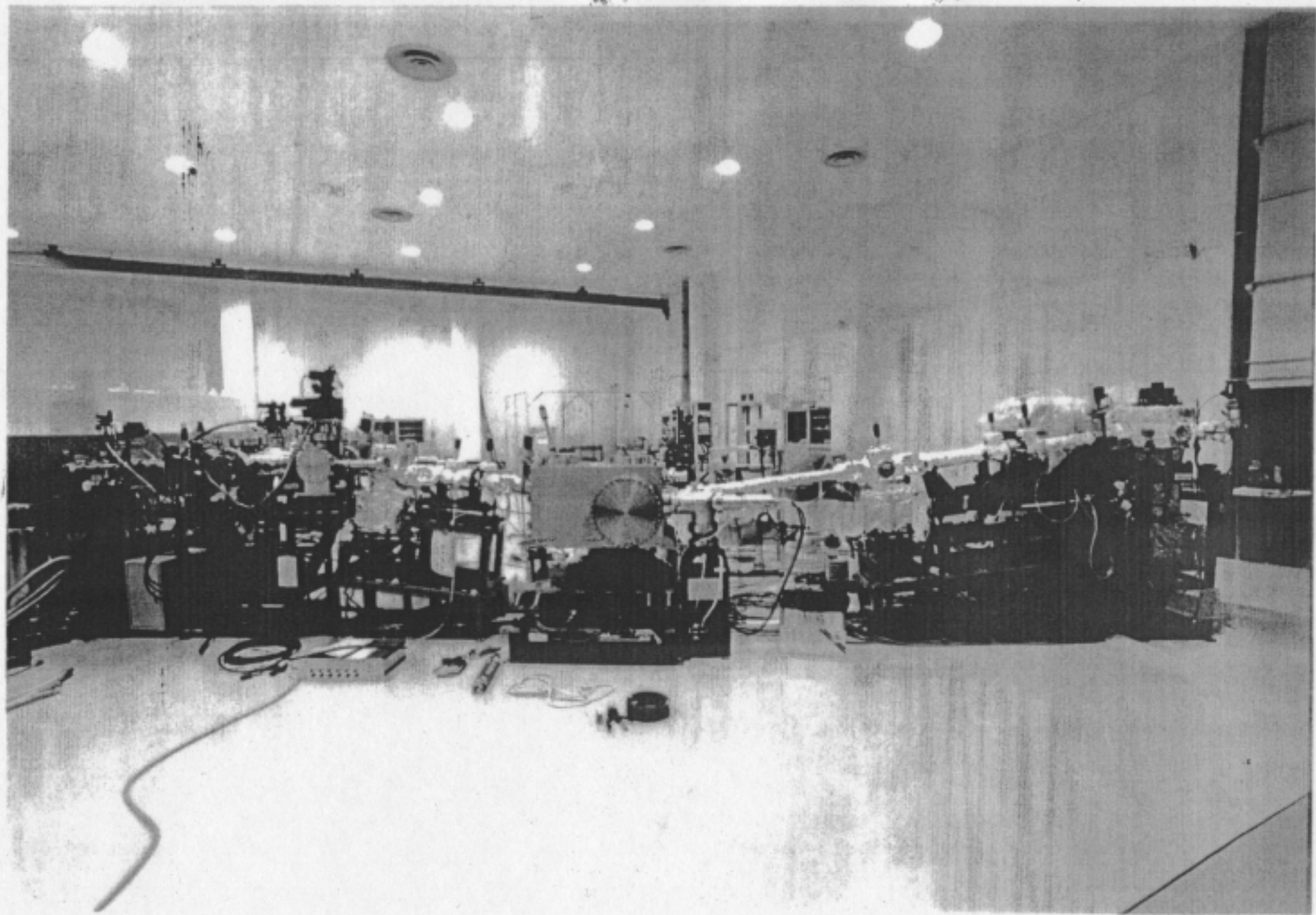
Linear Undulator



Parameters of the linear undulator at HiSOR

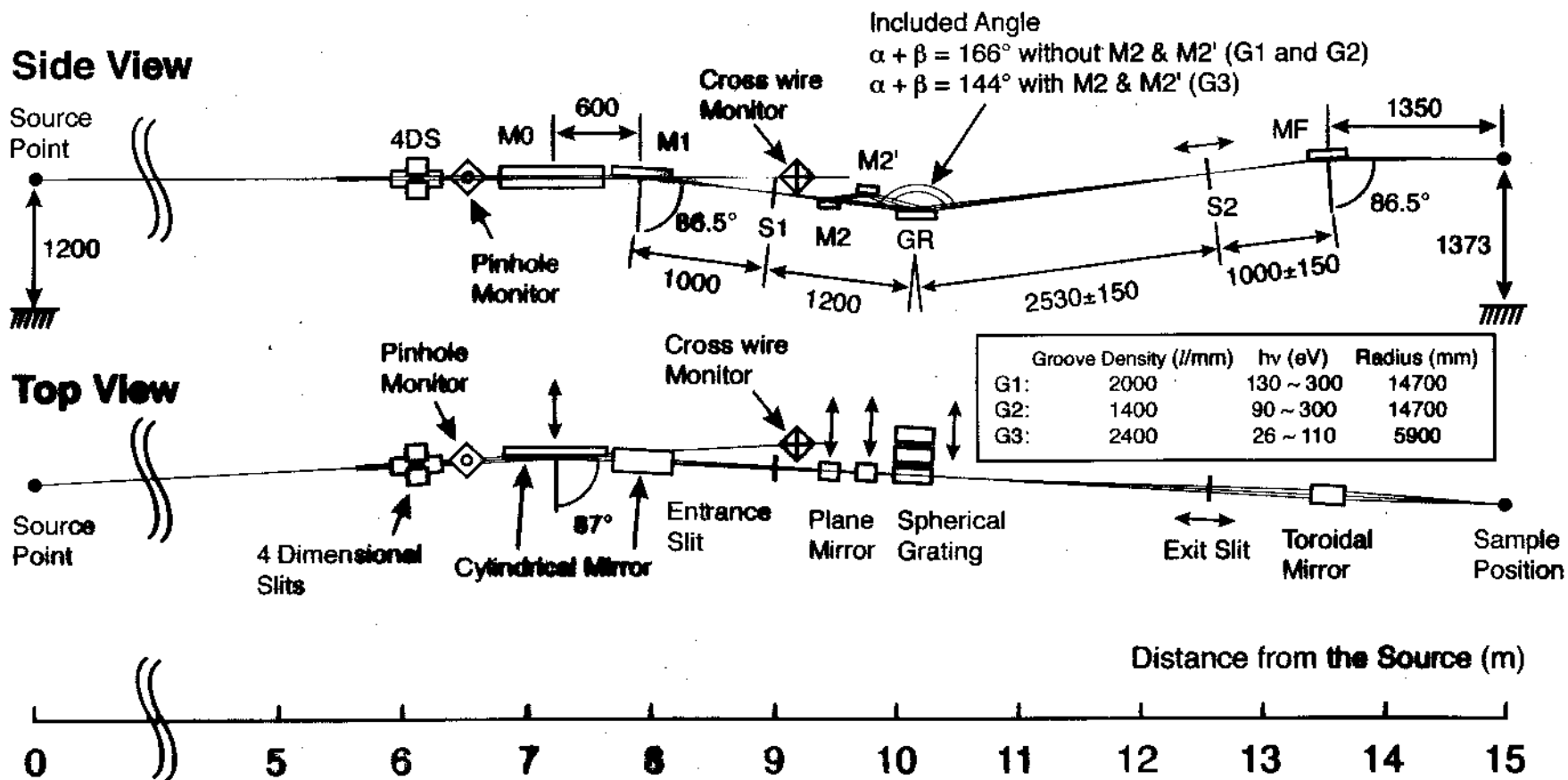
Period length (λ_U)	57 mm
Number of periods	41
Total length*	2354.2 mm
Gap distance	30 ~ 200 mm
MAX. magnetic field	0.41 T
Magnet material	Nd-Fe-B (NEOMAX-44H)

*including correction magnets

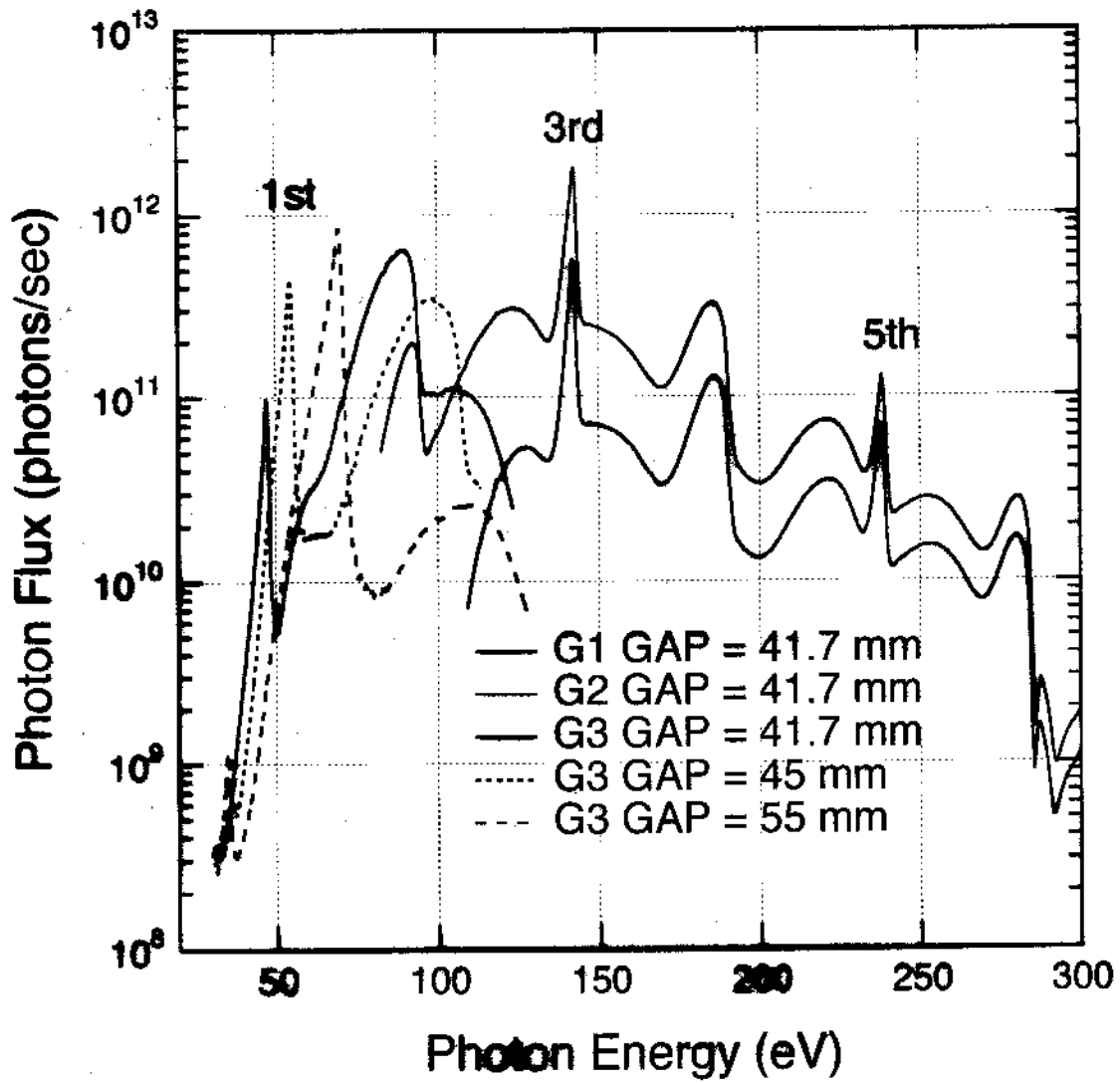




Schematic optical layout of the linear undulator beamline BL-1 at HiSOR



Measured photon flux at the sample position of BL-1, HiSOR

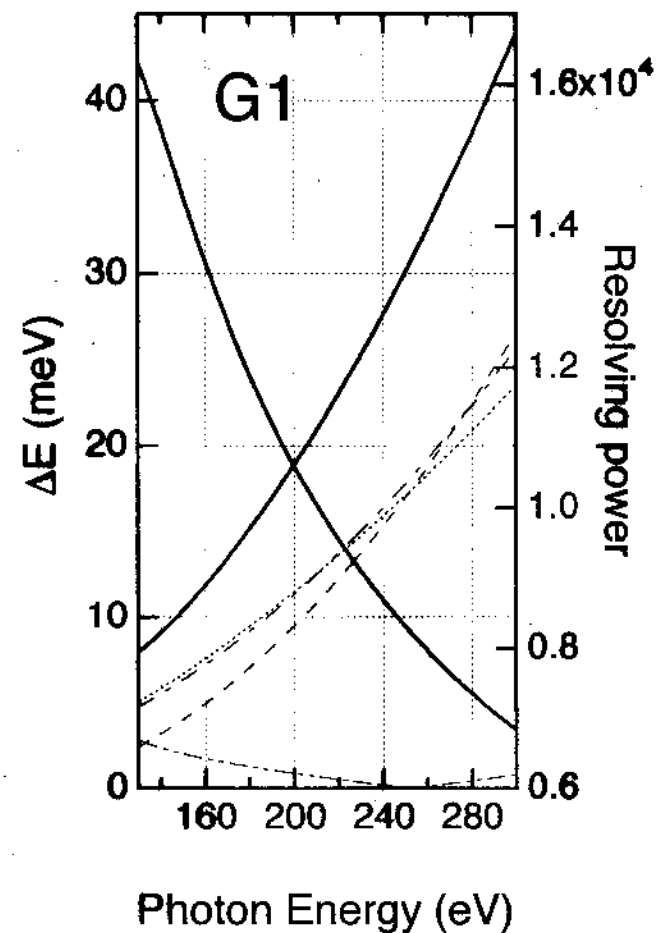
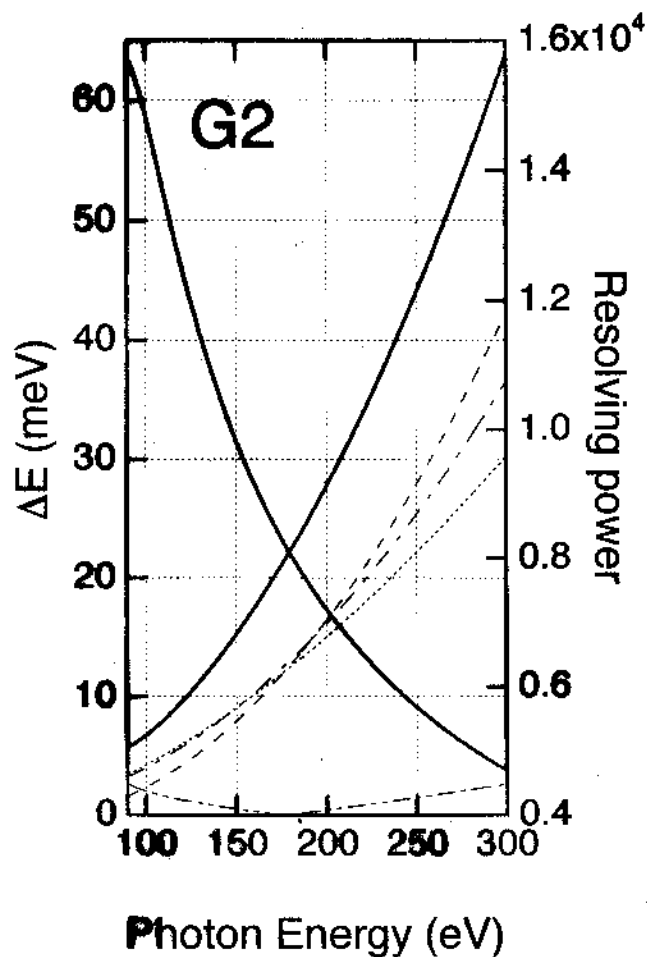
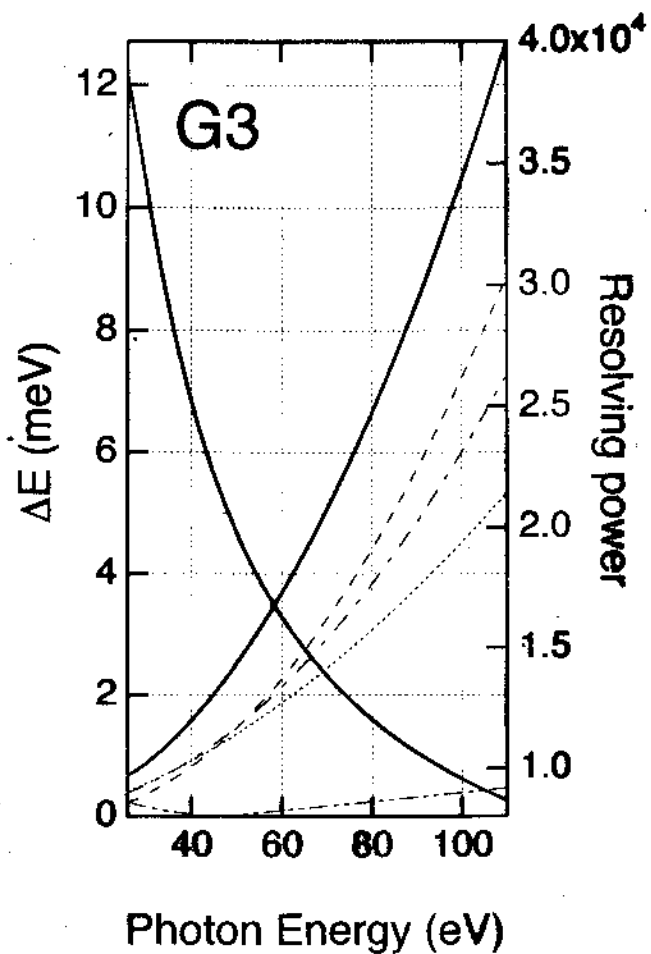


$I_b = 200 \text{ mA}$

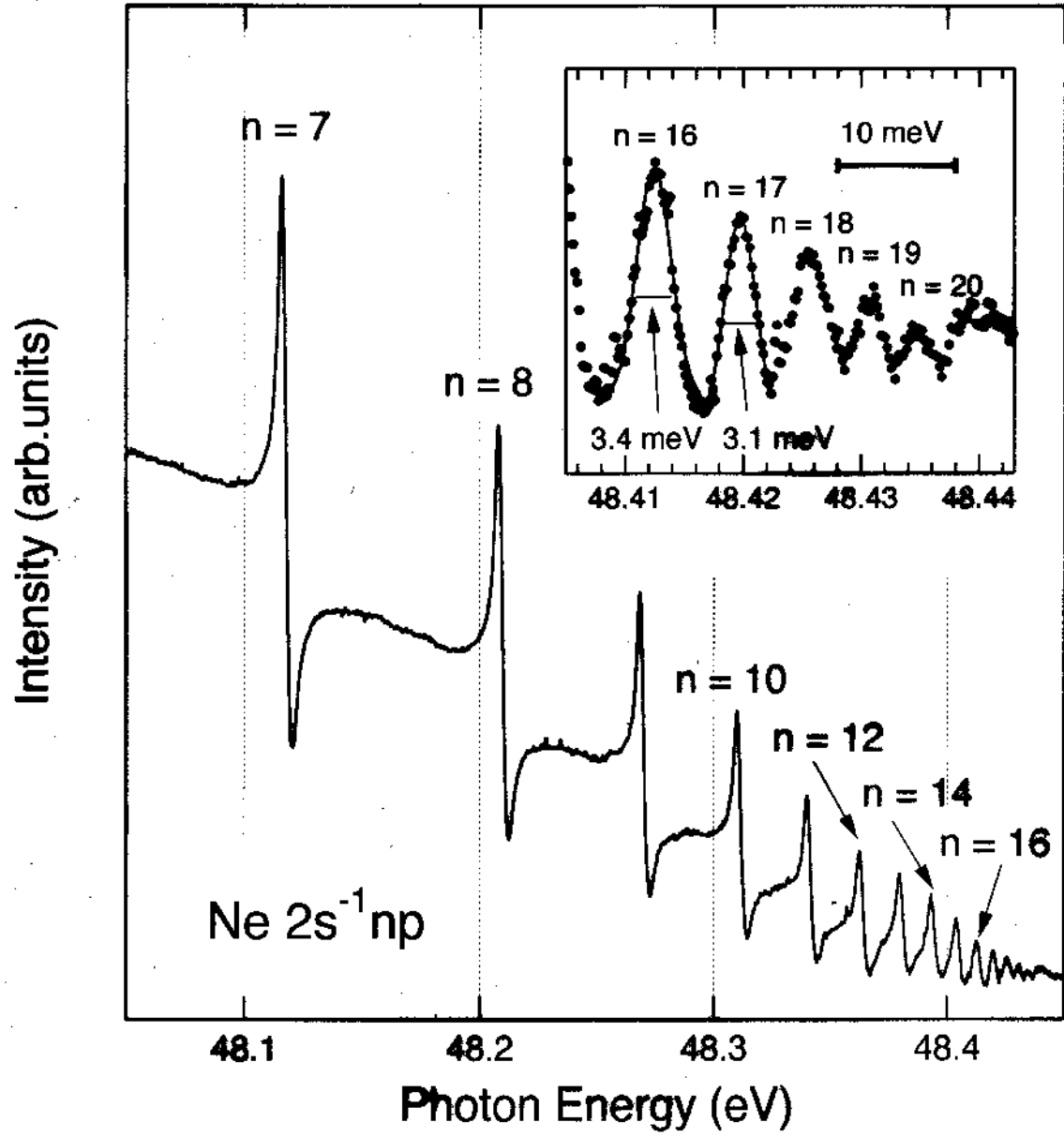
$4 \text{ DS} = 12 \text{ mm (H)} \times 2 \text{ mm (V)} = 1.9 \text{ mrad (H)} \times 0.3 \text{ mrad (V)}$

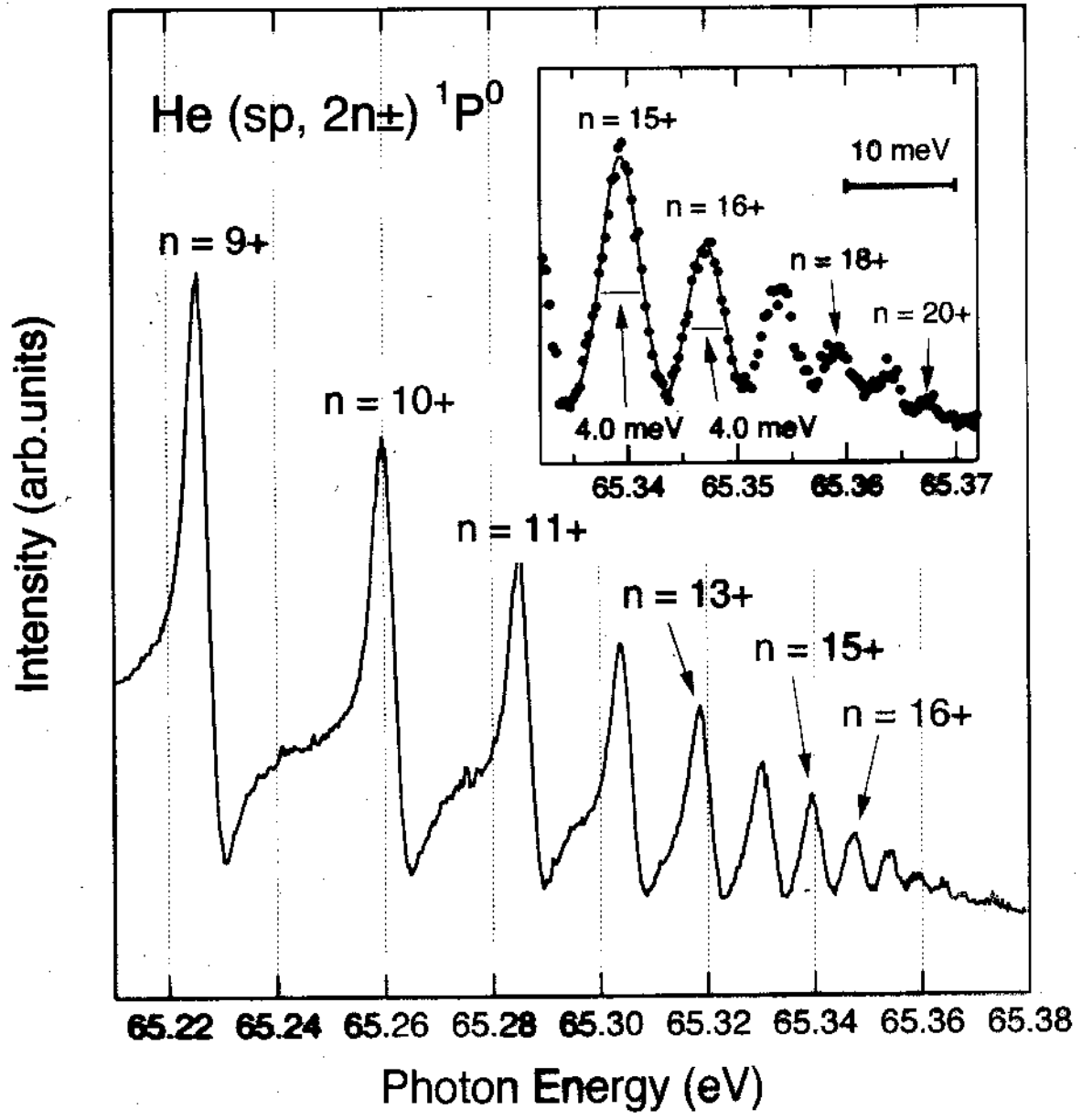
$S1 = S2 = 50 \text{ }\mu\text{m}$

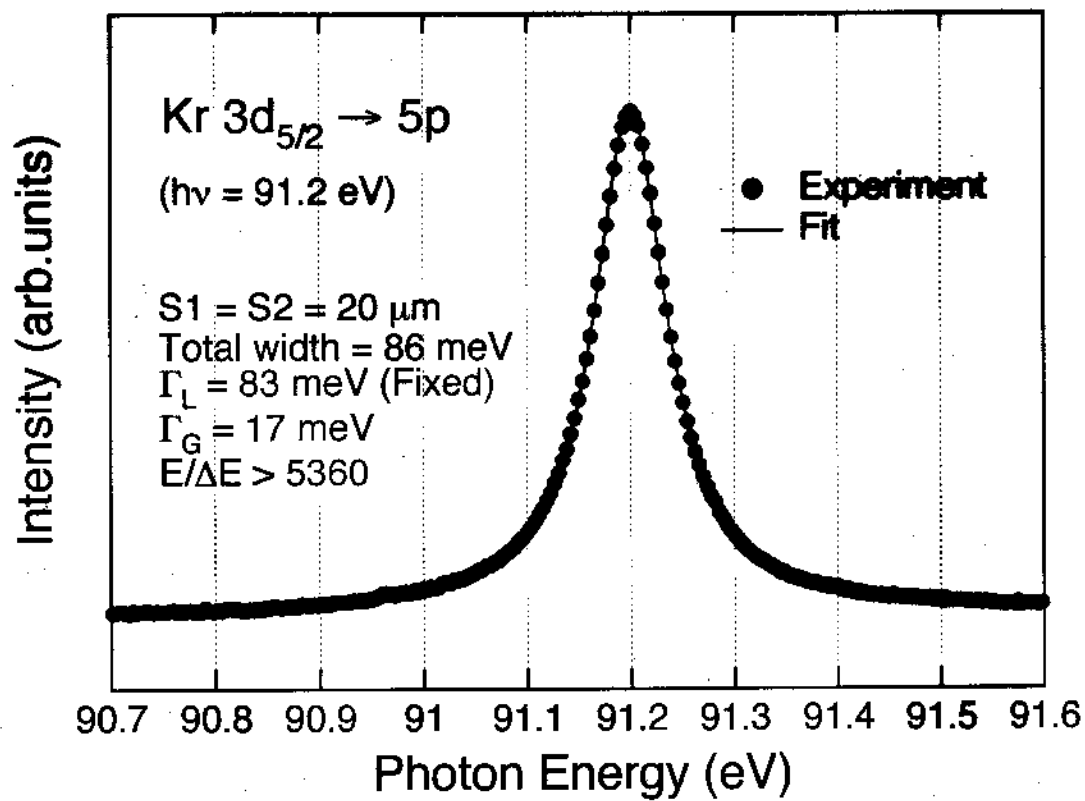
Calculated resolution limit of monochromator BL-1.

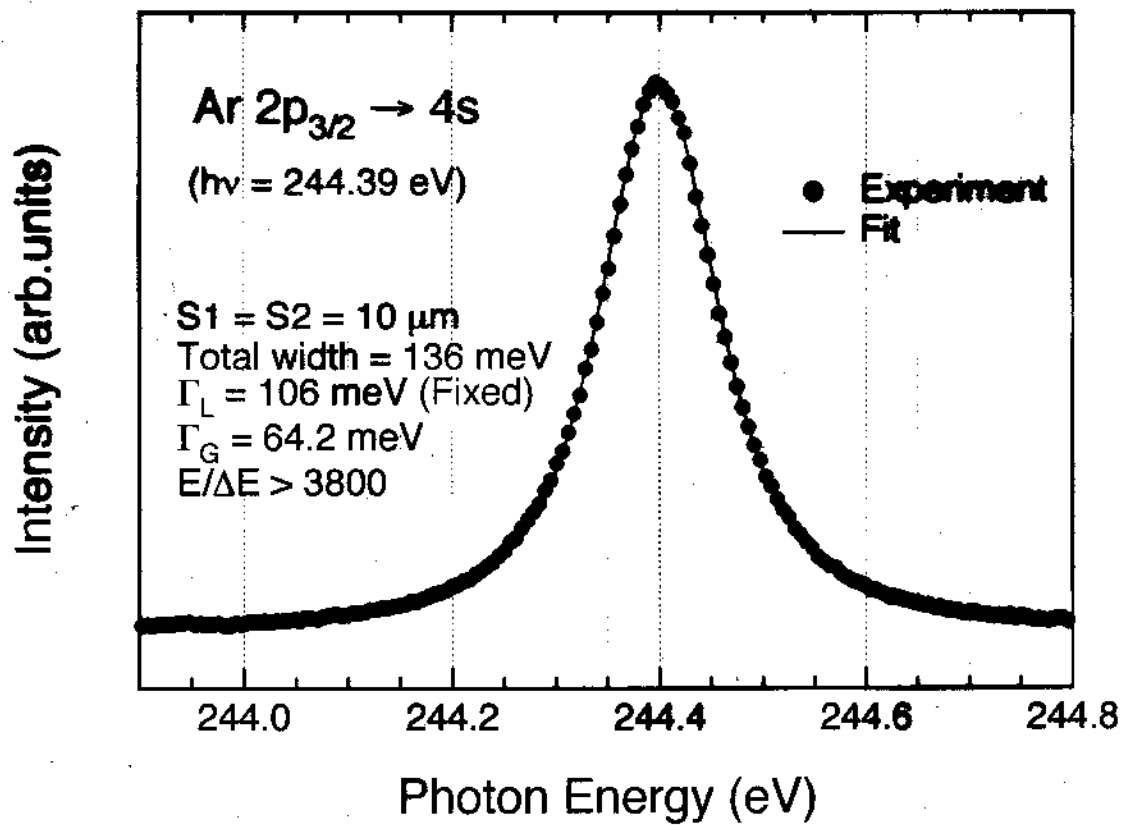


- Total resolution
- - - Contribution from the entrance slit
- Contribution from the exit slit
- · - · Contribution from the figure slope error
- Contribution from the coma aberration
- Resolving power



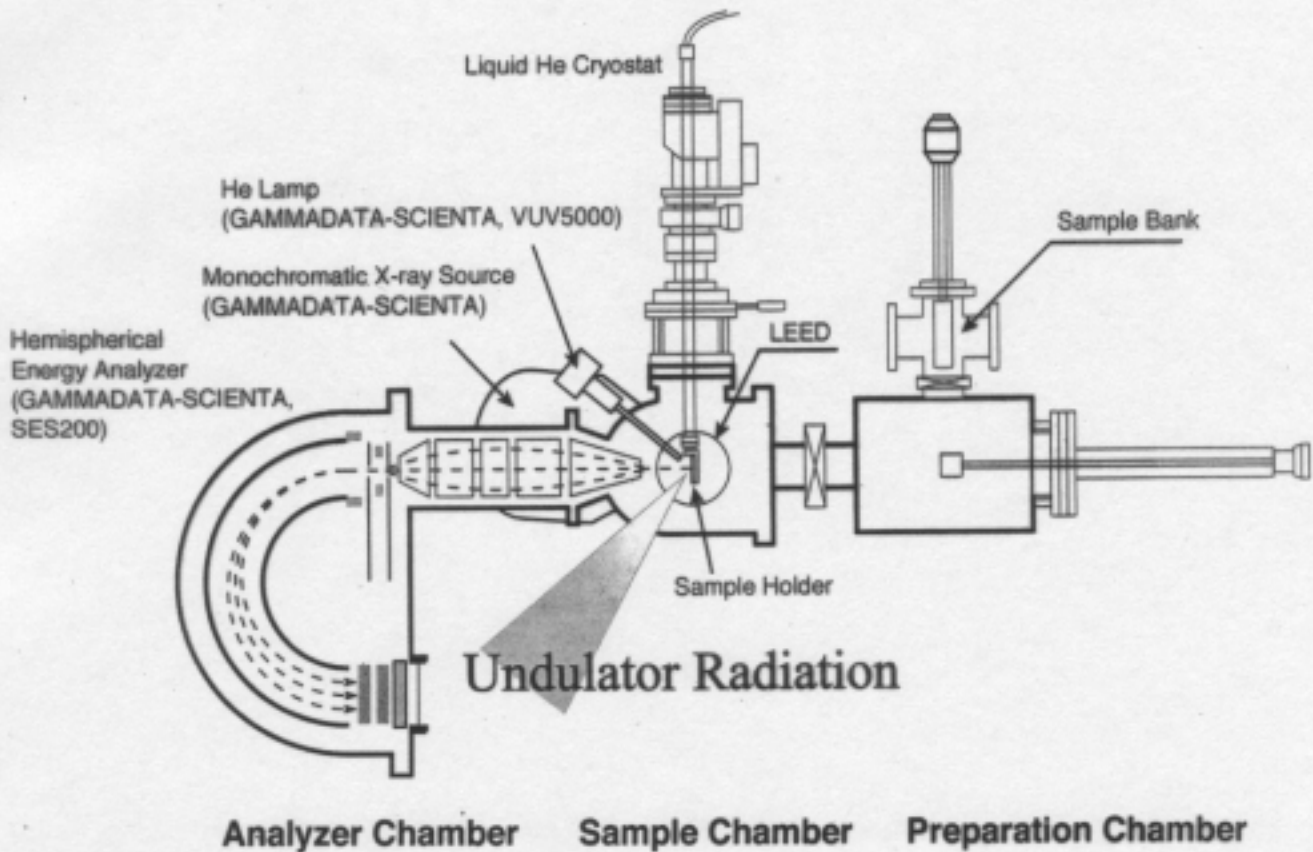
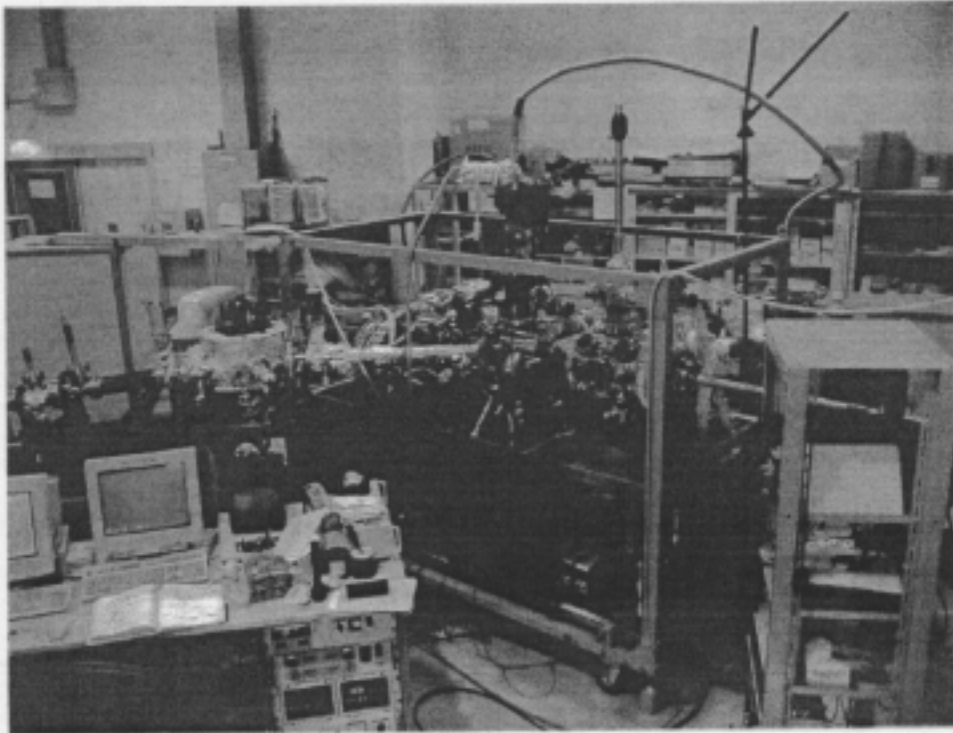






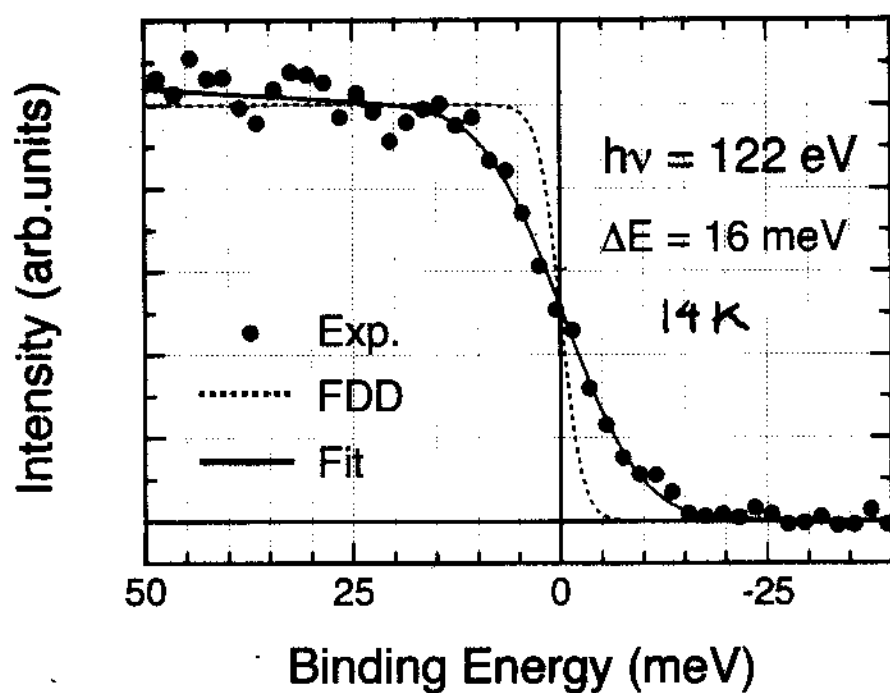
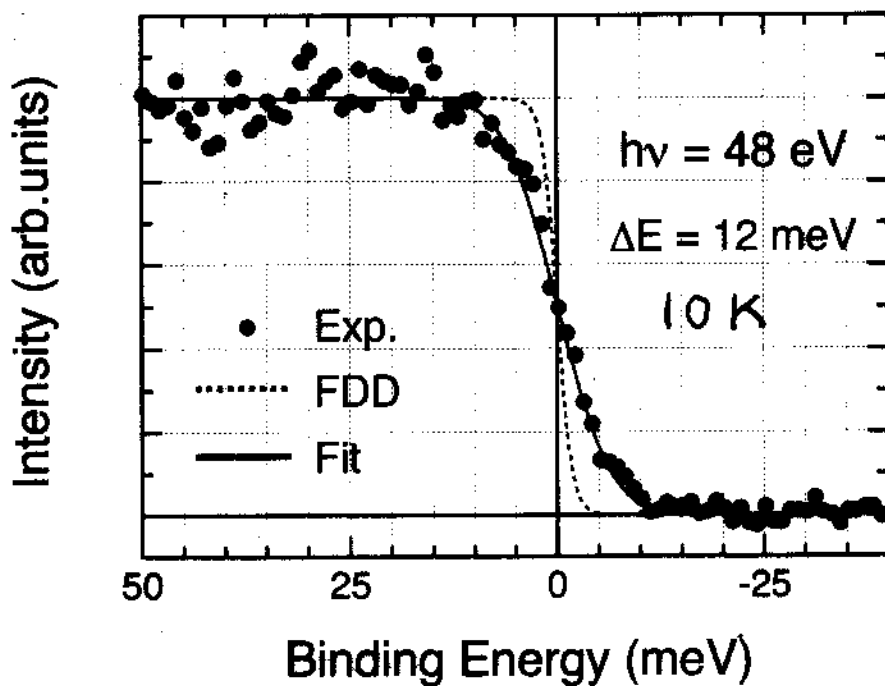


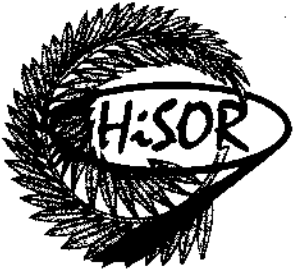
Low-temperature high-resolution photoemission spectroscopy measurement system (ESCA200) at HiSOR BL-1





Energy resolution





HiSOR BL-1 共同利用研究

平成13年11月～平成14年2月

1, 近藤半導体CeRhAsおよびCeRhSb単結晶のCe4f電子状態の精密測定

島田賢也、小林賢一、成村孝正、生天目博文、谷口雅樹、末光敏明、笹川哲也、高島敏郎

2, 角度分解光電子分光によるT*相構造を持つ銅酸化物高温超伝導体の研究

井野明洋、成村孝正、小林賢一、島田賢也、生天目博文、谷口雅樹

3, 高エネルギー分解能角度分解光電子分光法によるモリブデン酸化物のバンド分散及びフェルミ面の研究

横岸寛、横岸彩子、成村孝正、小林賢一、島田賢也、生天目博文、谷口雅樹

4, CeMIn₅(M=Rh, Ir)の高分解能低温共鳴角度分解光電子分光

原研放射光：藤森伸一、岡本淳、間宮一敏、岡根哲夫

原研放射光・東大新領域：藤森淳

阪大産研：播磨尚朝

CEA：青木大

阪大理：池田修悟、尖戸寛明

原研先端研：芳賀芳範

阪大理・原研先端研：常盤欣文、大貫惇睦

広大院理：成村孝正、小林賢一

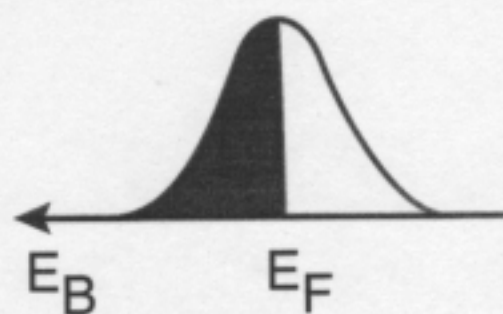
広大放射光セ：島田賢也、生天目博文、谷口雅樹



$T^* < T < T_K$

近藤効果
局所モーメント

モデル

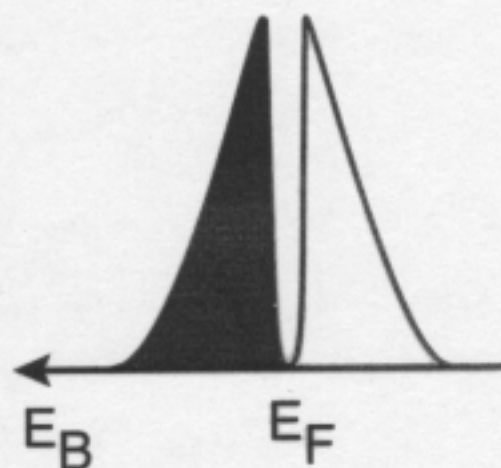


Crossover

T^*

$T < T^*$

常磁性基底状態
混成ギャップ
(多体効果)



研究の目的

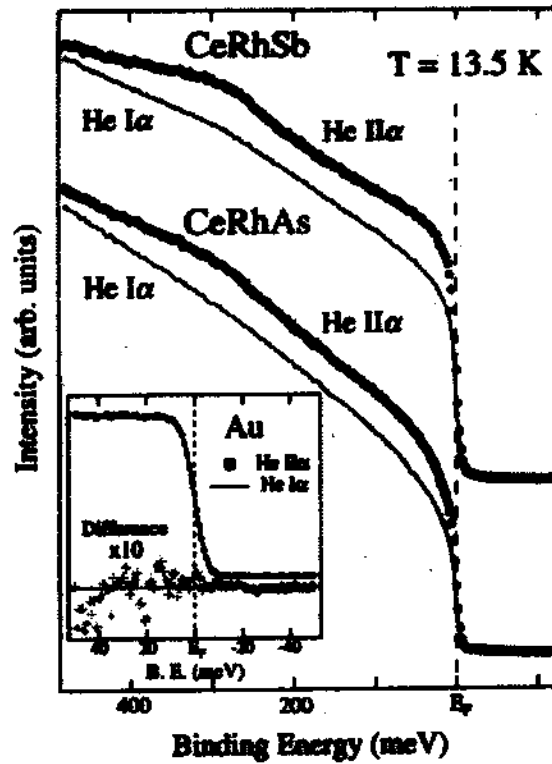
低温におけるフェルミ準位近傍のCe4f状態を直接観測し、近藤半導体の特異な基底状態を明らかにする。

高分解能低温共鳴光電子分光

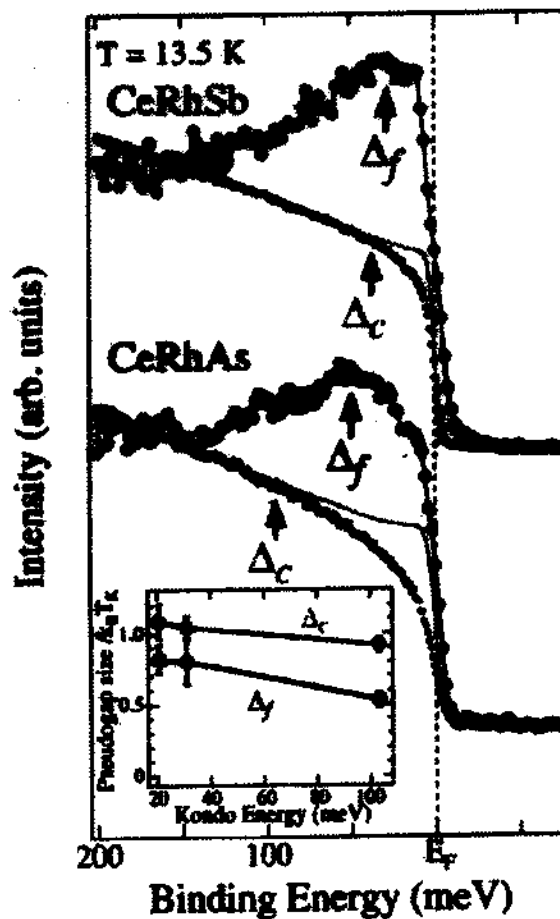
$\Delta E = 16-18 \text{ meV}$ 、 10 K 、 $h\nu = 122-126 \text{ eV}$

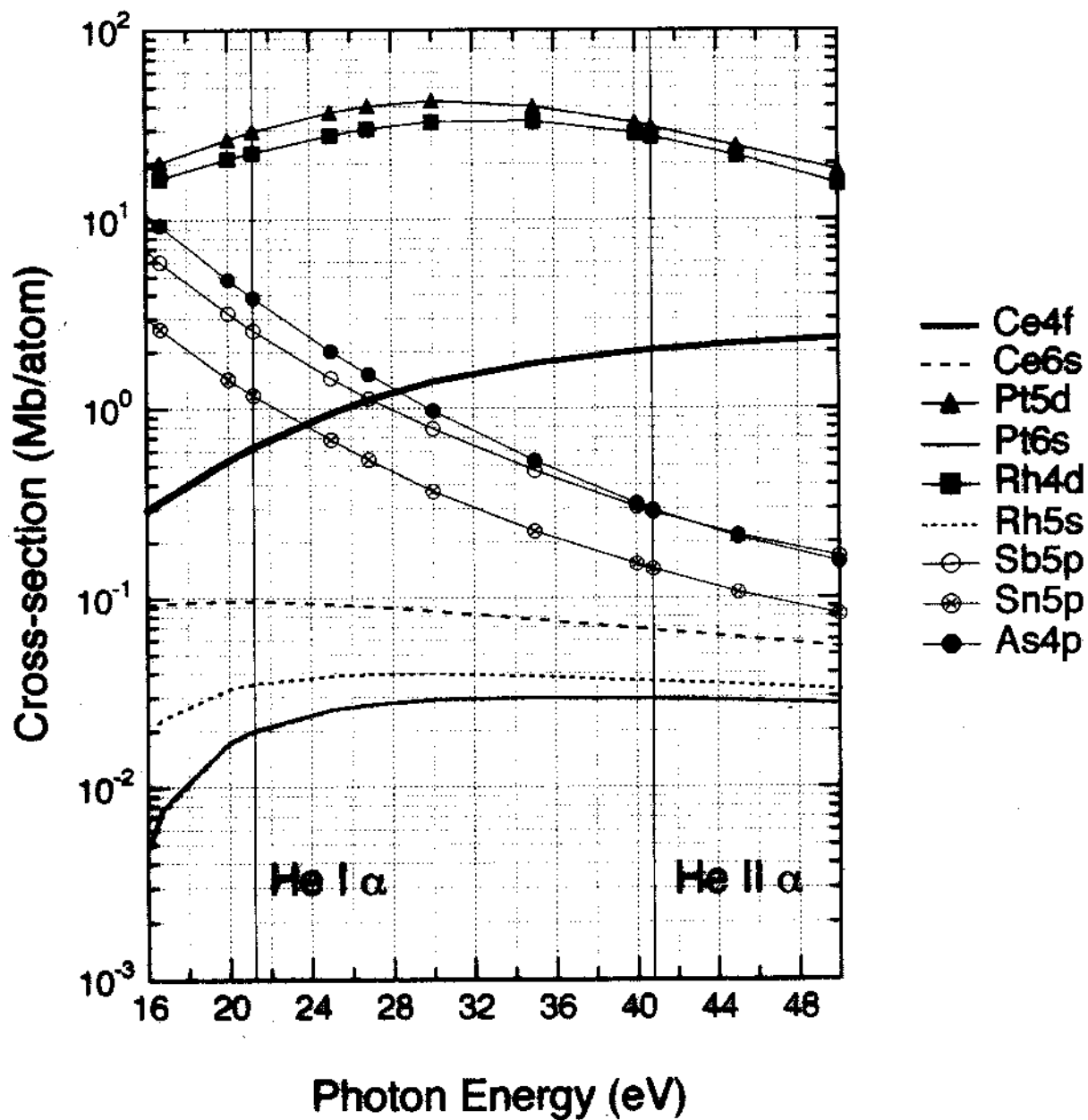
H. Kumigashira et al. Phys. Rev. Lett. 87 (2001) 067206-1

HeI&HeII, Polycrystal, Scraped Surface, $\Delta E = 8$ meV, 13.5 K

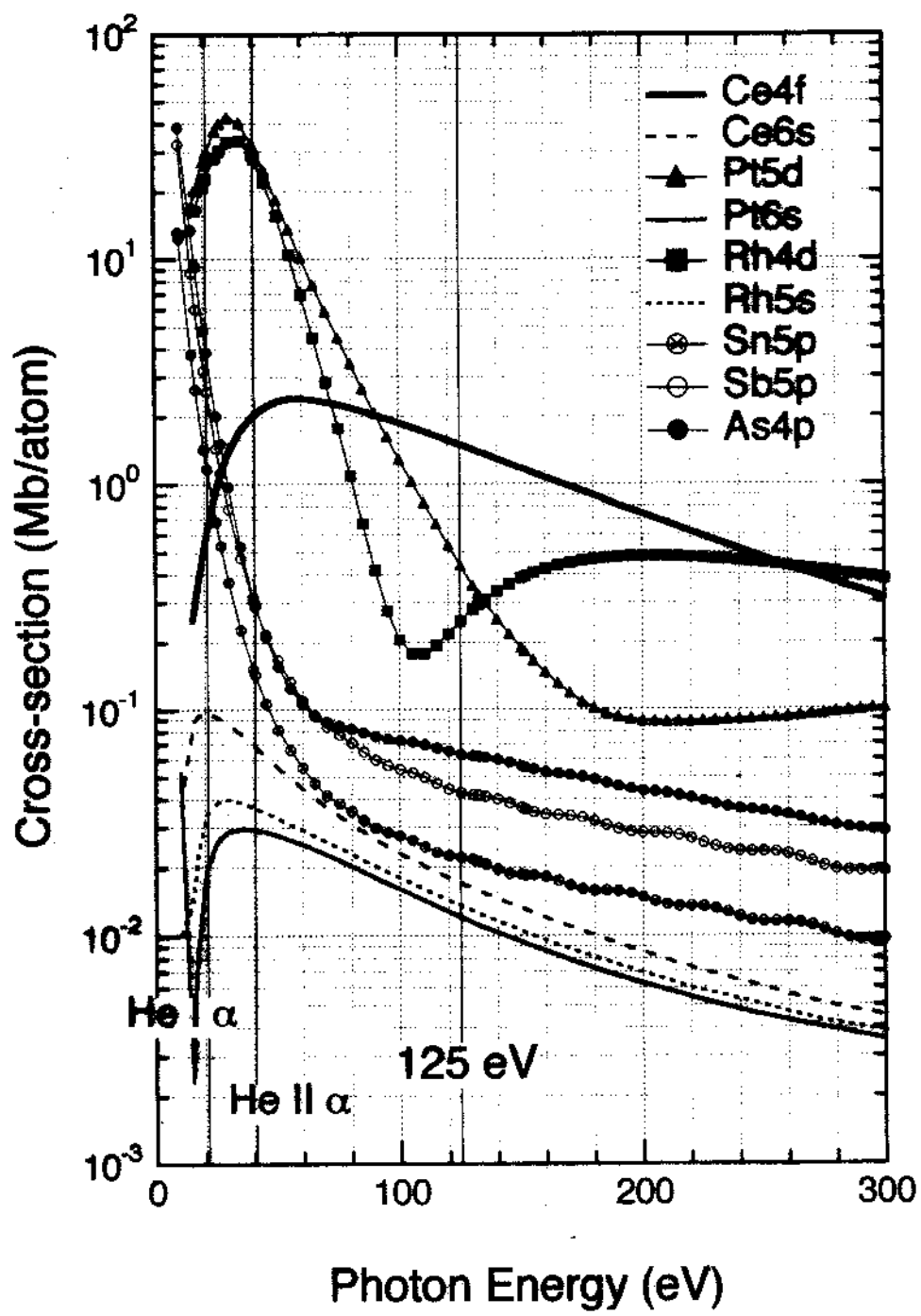


HeII - HeI Difference





J. -J. Yeh:
 Atomic Calculation of Photoionization Cross-Sections
 and Asymmetry Parameters
 (Gordon and Breach Science Publishers, 1993)



J. -J. Yeh:
 Atomic Calculation of Photoionization Cross-Sections
 and Asymmetry Parameters
 (Gordon and Breach Science Publishers, 1993)



Samples



CeRhAs 単結晶 近藤半導体 $k_B T_K \sim 130 \text{ meV}$

Bridgman 法により作成。

電気伝導度、帯磁率

⇒ T. Sasakawa et al., (unpublished).

$T_m \sim 510 \text{ K}$

CeRhSb 単結晶 近藤半金属 $k_B T_K \sim 30 \text{ meV}$

Bridgman 法により作成。

電気伝導度、帯磁率、熱電能

⇒ T. Takabatake et al. Physica B 206&207 (1995) 804.

$T_m \sim 120 \text{ K}, 20 \text{ K (a-axis)}$

CePtSn 単結晶 近藤金属 $k_B T_K < 1 \text{ meV}$

Czochralski 法により作成。

電気伝導度、帯磁率、比熱

⇒ T. Takabatake et al. Physica B 183 (1993)108.

$T_N = 7.5 \text{ K}$

$k_B T_K$: Kondo temperature estimated from magnetic measurements



Experimental

Linear undulator beamline BL-1 at HiSOR

ESCA200 (GAMMADATA-SCIENA)

Total energy resolution:

$\Delta E = 16 - 18 \text{ meV}$ at $h\nu = 122 \text{ eV}$

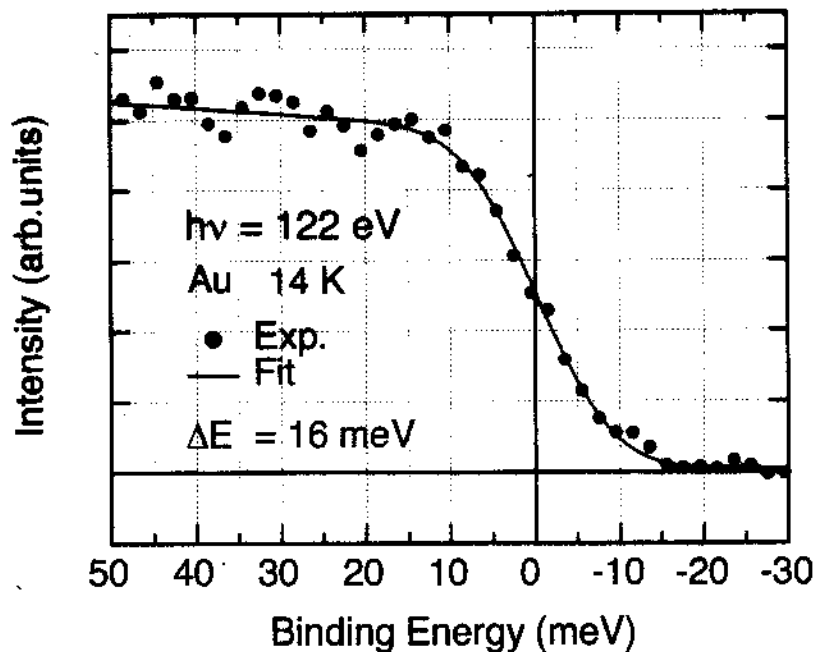
$\Delta E = 18 - 20 \text{ meV}$ at $h\nu = 126 \text{ eV}$

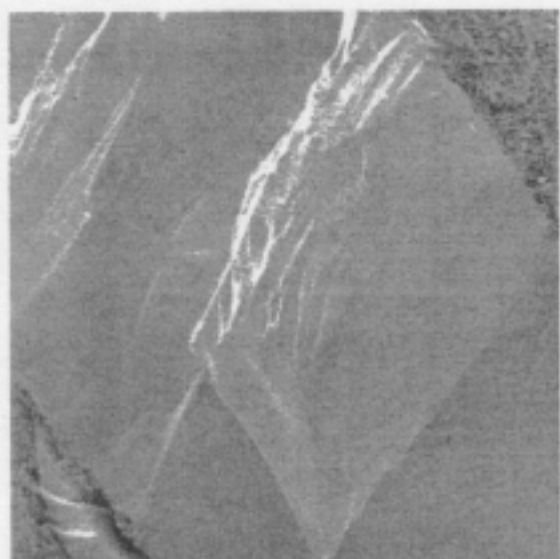
Temperature: 10 K - 12 K

Fractured surface

Pressure: 5×10^{-10} Torr

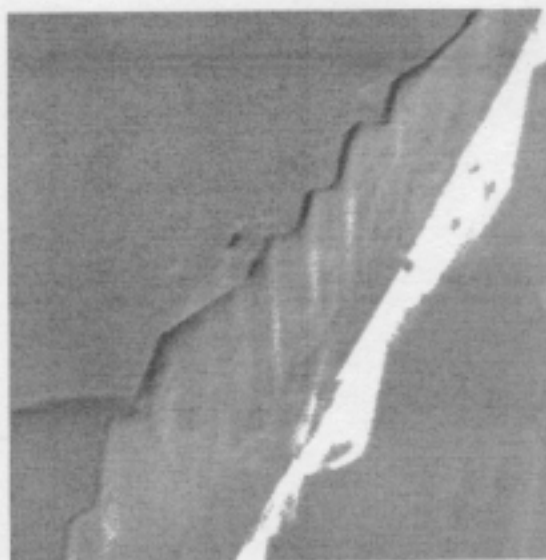
Energy calibration was done using the Fermi edge of Au.





~0.8 mm

CeRhSb single crystal
fractured surface
x125



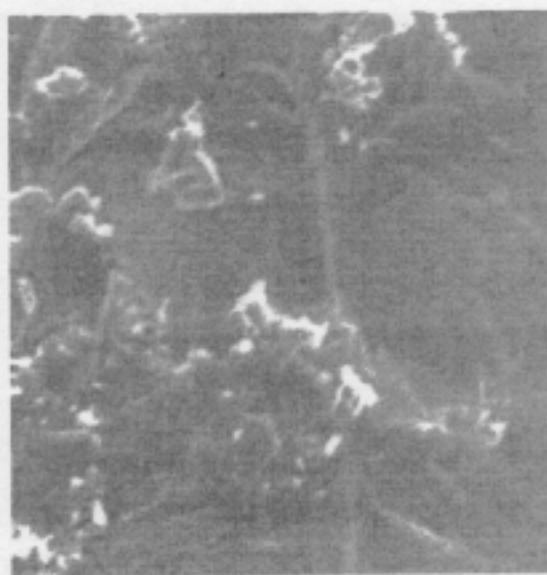
~66 μ m

CeRhSb single crystal
fractured surface
x1500



~2.5 mm

CeRhSb single crystal
scraped surface
x40



~66 μ m

CeRhSb single crystal
scraped surface
x1500



HiSORにおける 高分解能光電子分光実験

測定試料

物性のよく評価された単結晶試料

清浄試料表面

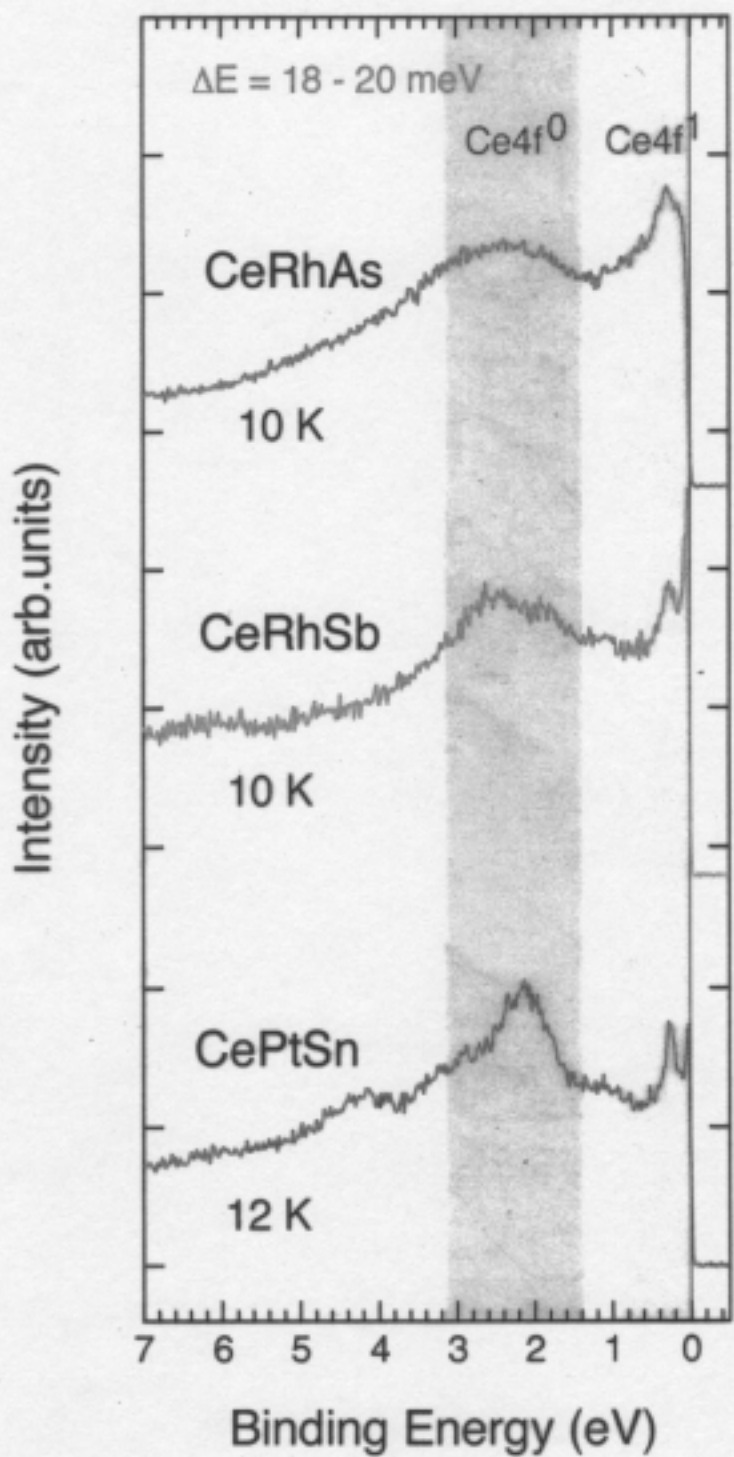
劈開もしくは破断

近い将来には、

イオンエッチング&アニール、
分子線エピタキシー、レーザーアブレーション
によるin situ試料作成



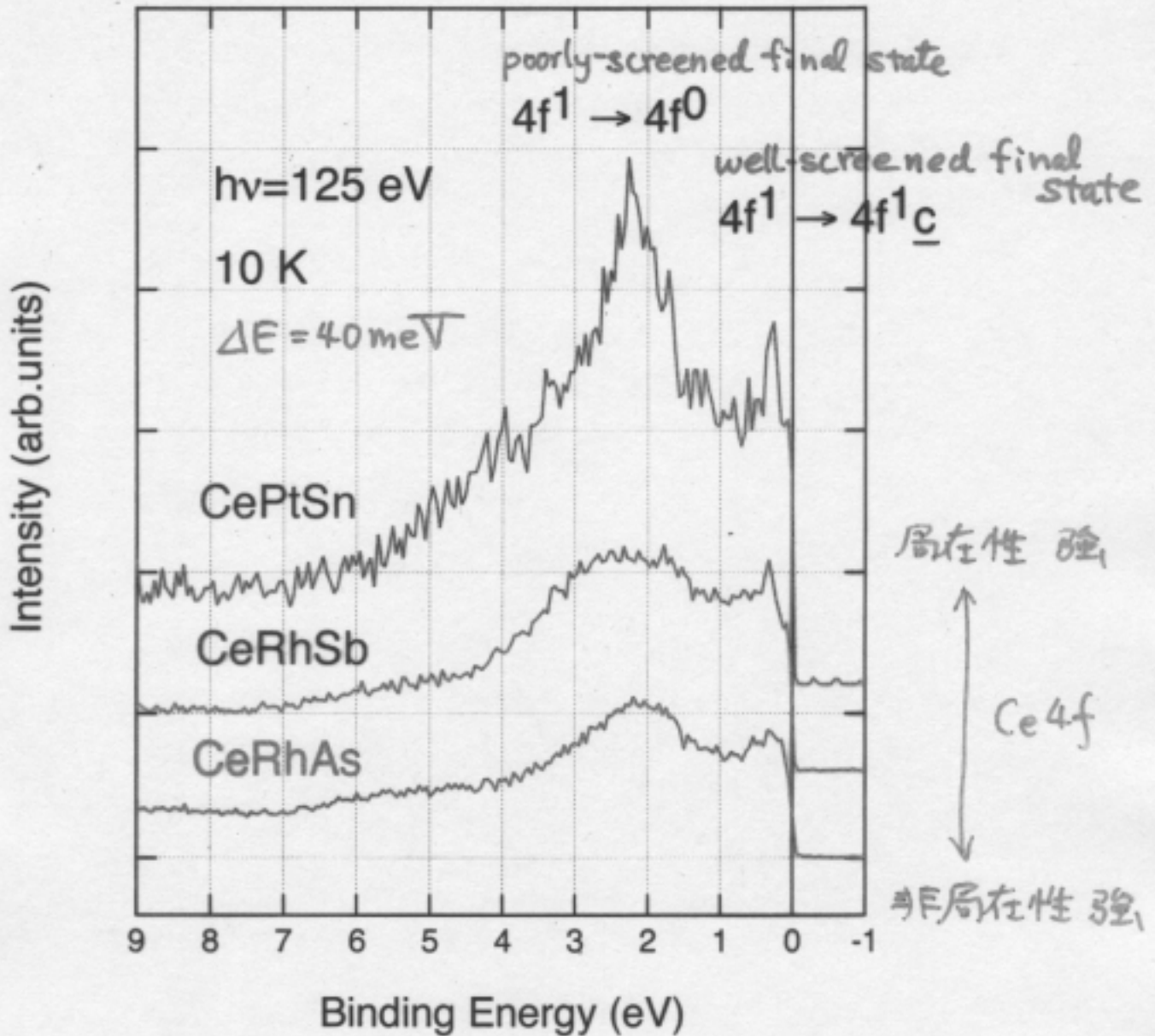
CeMX valence band spectra at $h\nu = 126$ eV
Enhanced Ce 4f derived states



Normalized at Ce4f⁰ peak



CeMX spectra

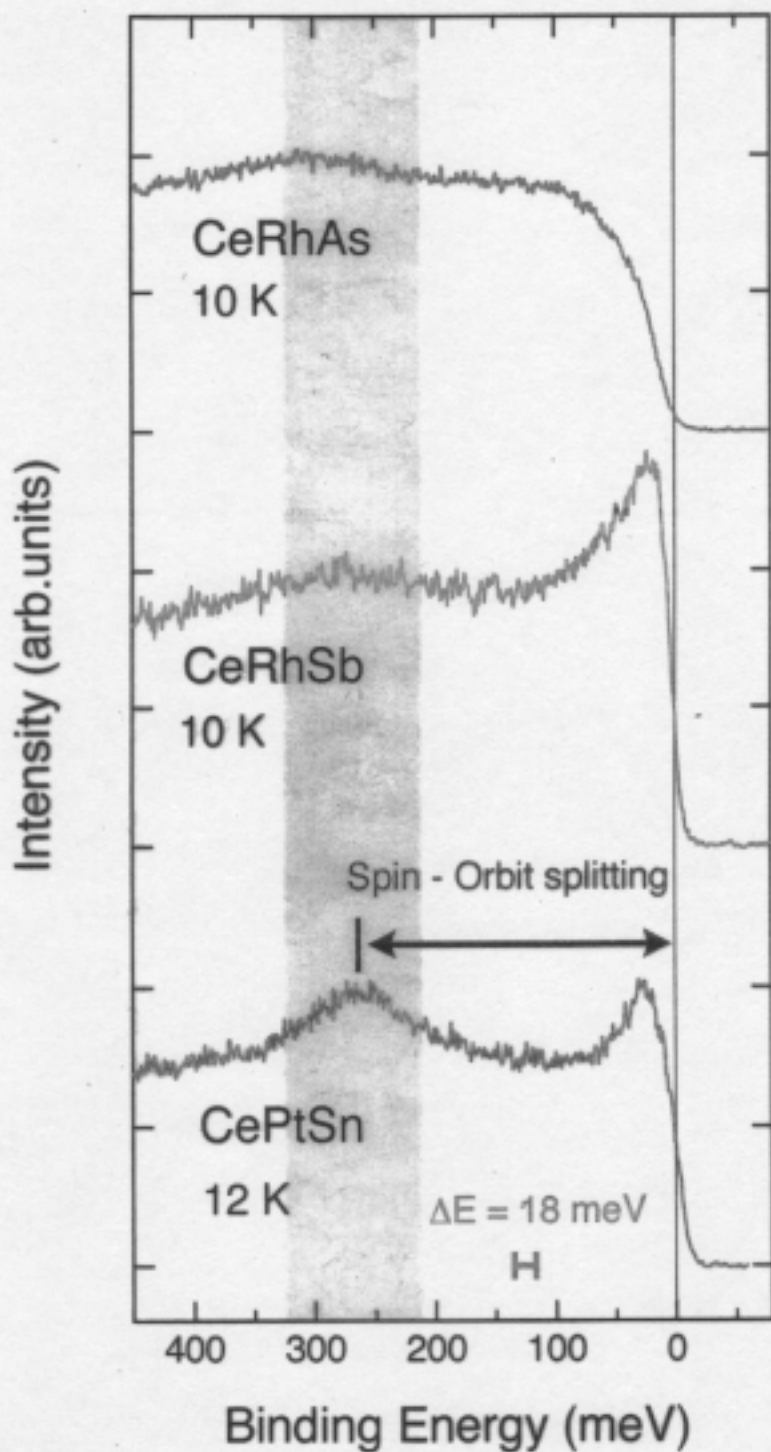


\underline{c} : Hole in the conduction band

和ろりがけ表面



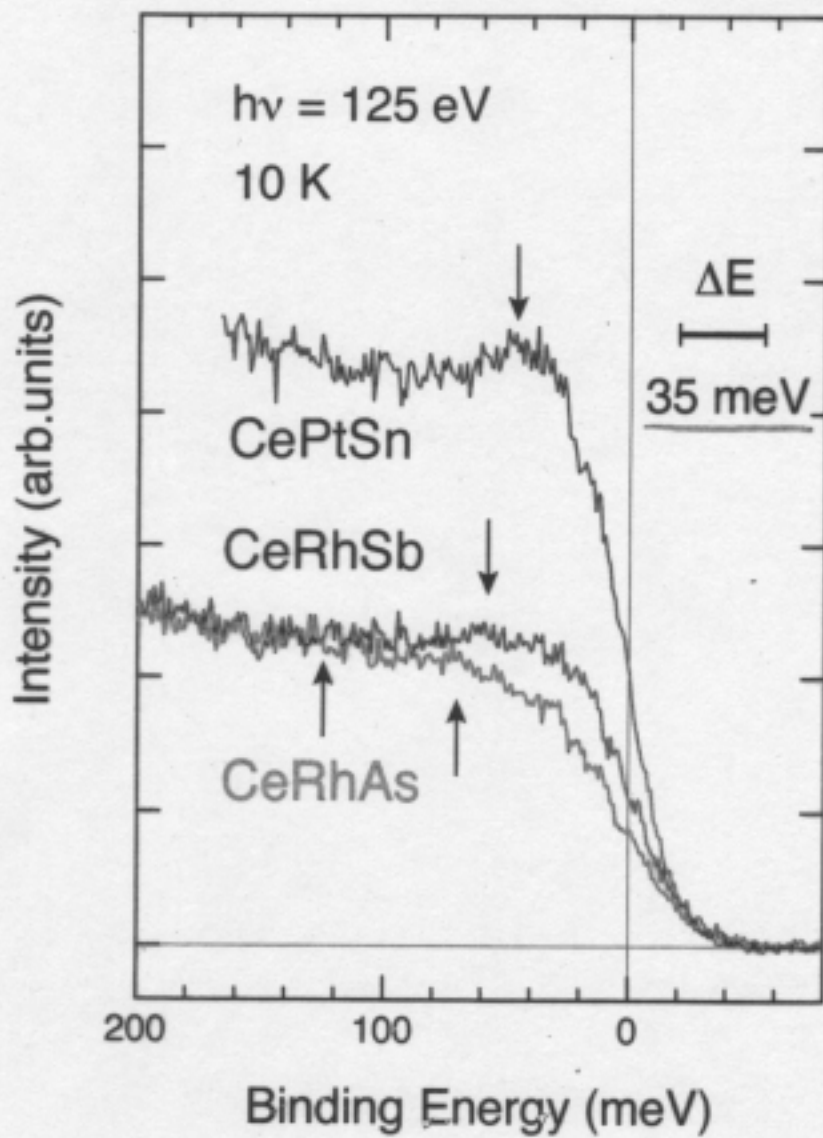
CeMX Ce $4f^1$ spectra at $h\nu = 126$ eV



Normalized at Ce $4f^1_{7/2}$ peak



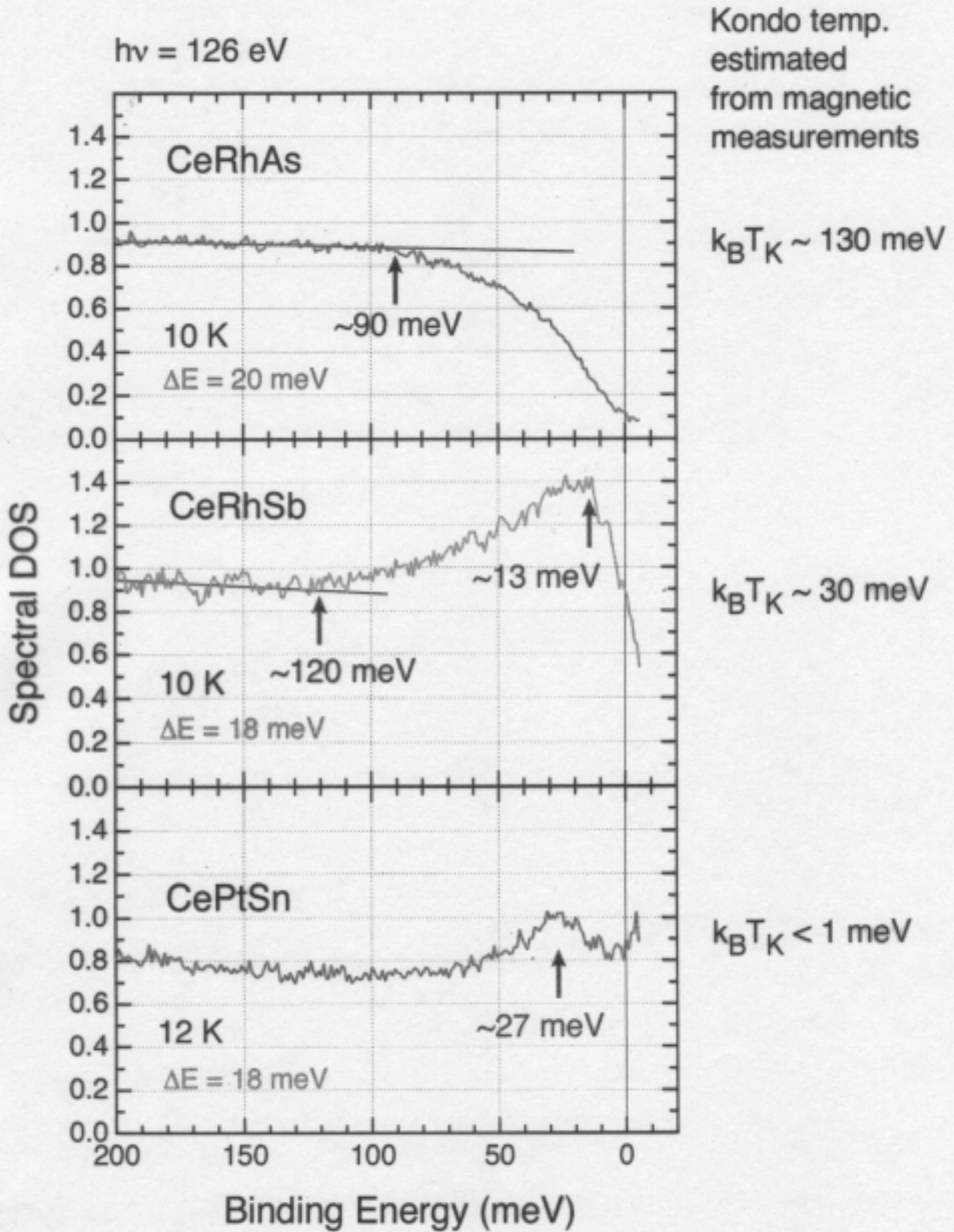
Ce $4f_{5/2}^1$ spectra



やりりがけ表面



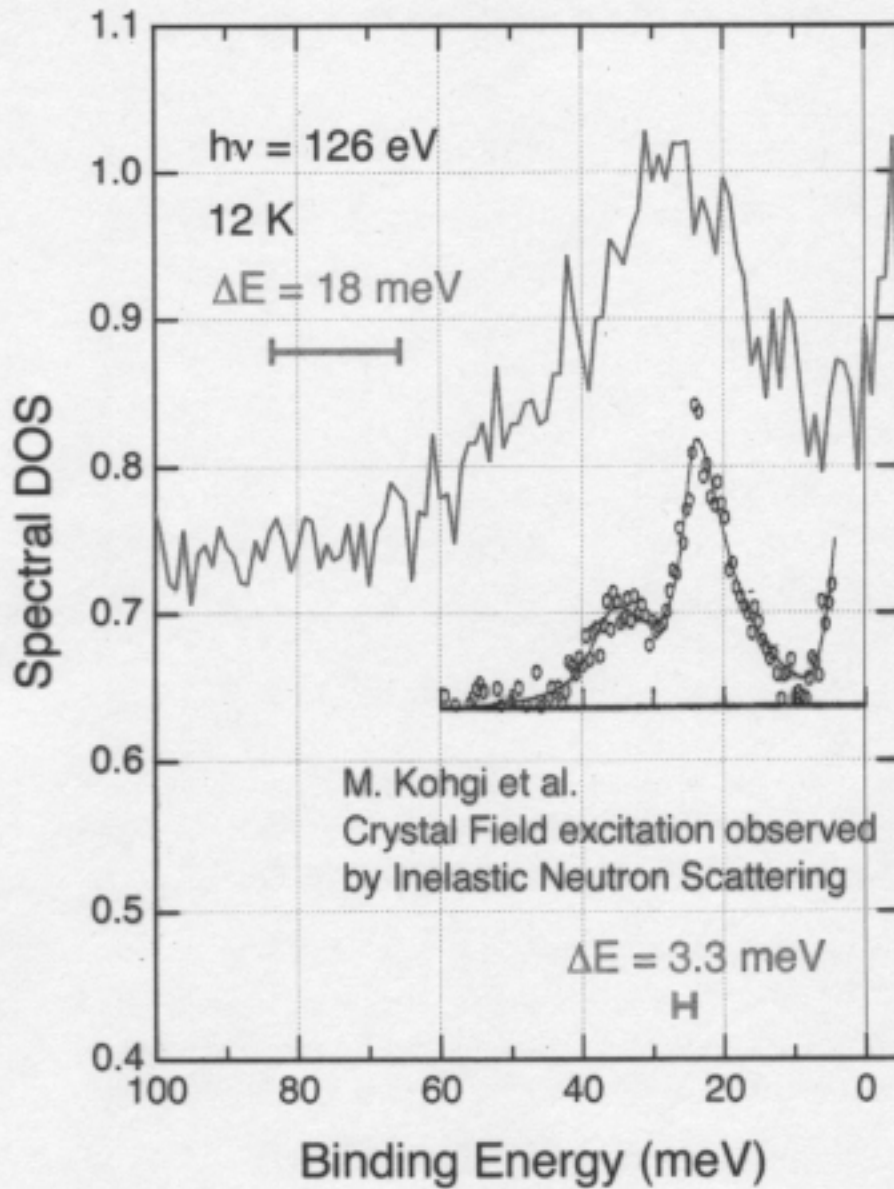
CeMX Ce 4f¹ spectral DOS at E_F



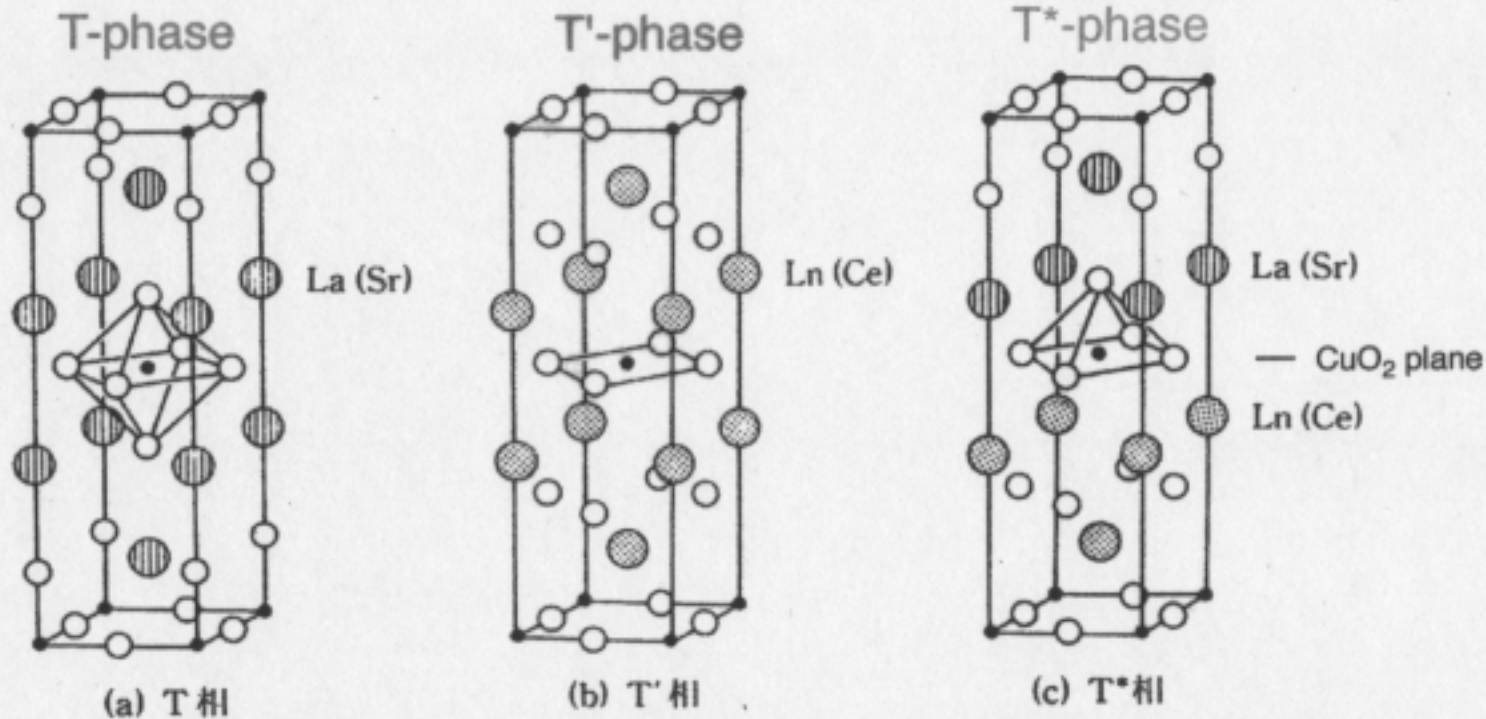
Normalized at Ce4f¹_{7/2} peak



Crystal Field splitting in CePtSn



Crystal structures of single-plane high-Tc cuprates



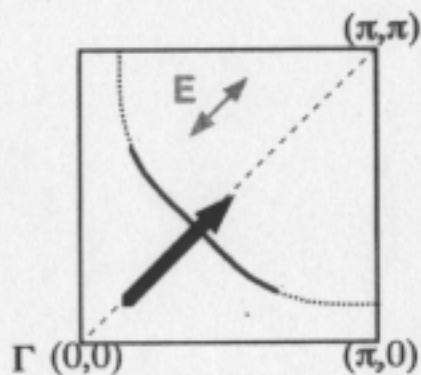
(a) T相
 $\text{La}_{2-x}\text{Sr}_x\text{CuO}_4$ など

(b) T'相
 $\text{Ln}_{2-x}\text{Ce}_x\text{CuO}_4$ など

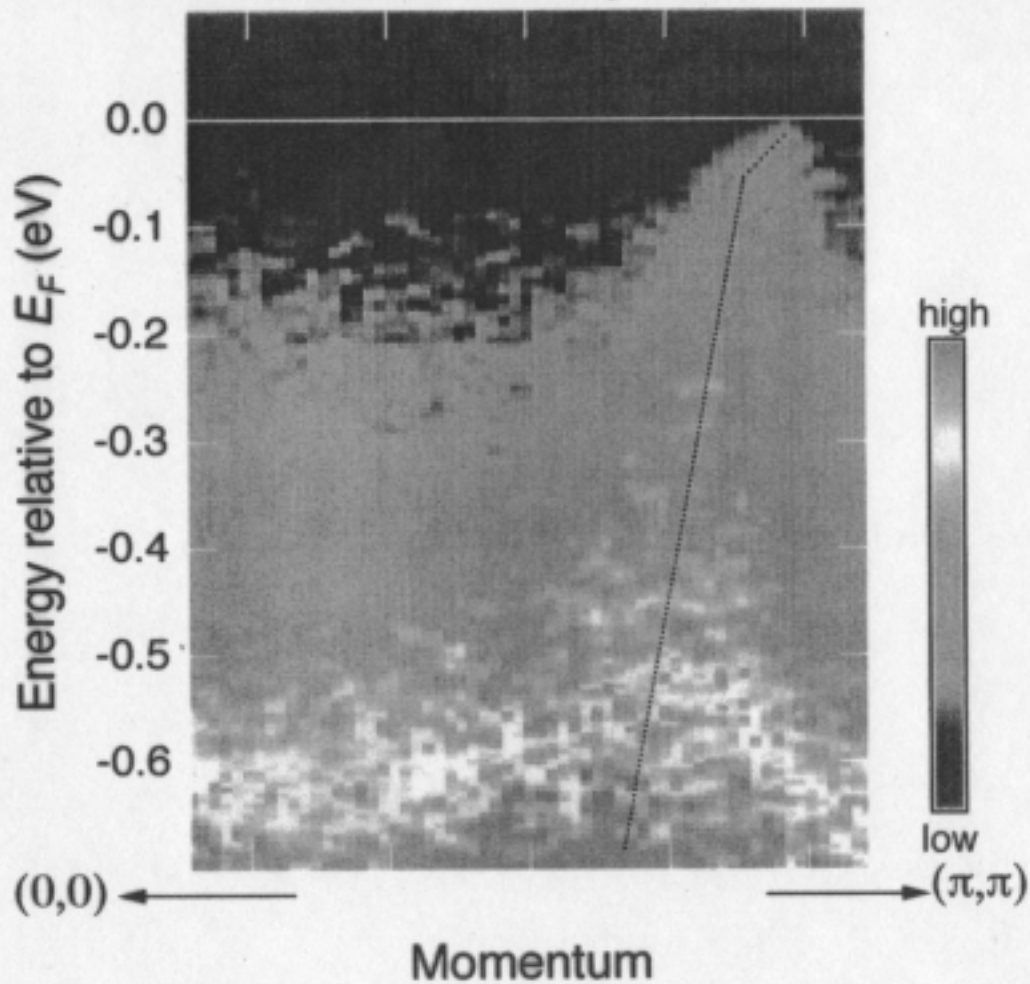
(c) T*相
 $\text{SmLa}_{1-x}\text{Sr}_x\text{CuO}_4$ など

Fermi Surface Crossing
of $\text{SmLa}_{0.8}\text{Sr}_{0.2}\text{CuO}_4$ (T^* -cuprate)

HiSOR BL1
 $h\nu = 55.5 \text{ eV}$

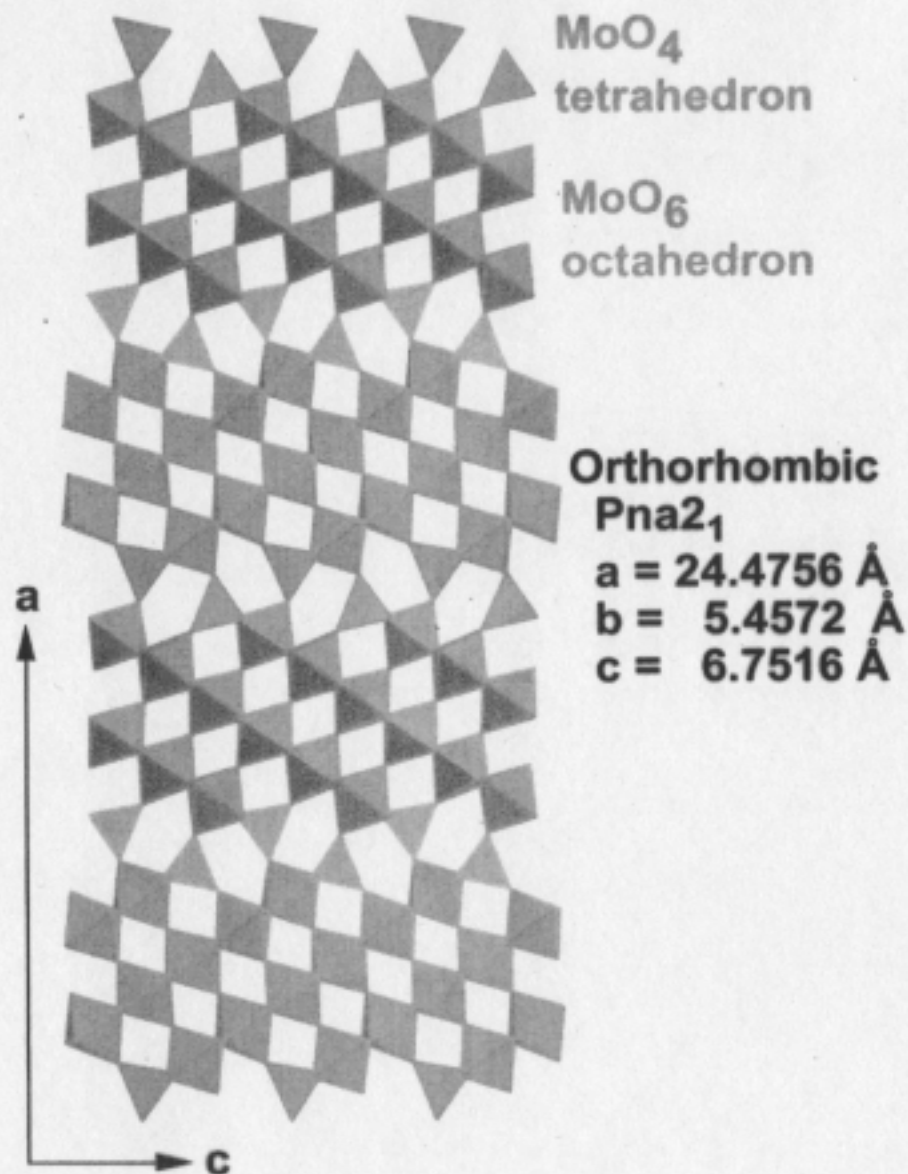


ARPES Intensity Plot



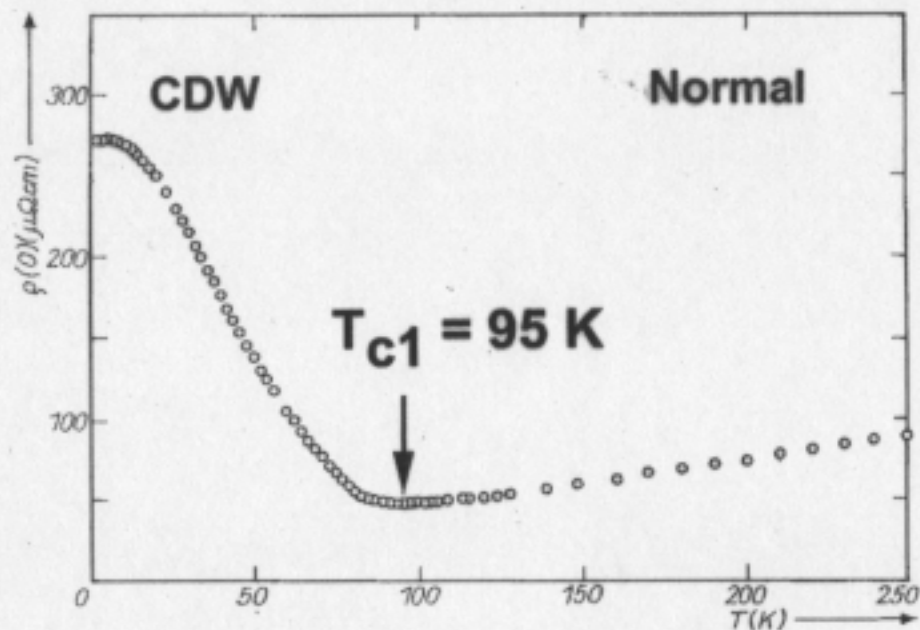
Crystal structure of γ - Mo_4O_{11}

H.-K. Fun et al. Powder Diffr. 14, (1999) 284.



Charge density wave

M. Inoue et al. Phys. Status Solidi (b) 148, (1988) 659.



$$\sigma = \sigma_0 + A \exp [-\Delta_R (T) / k_B T]$$

$$\Delta_R (T) = \Delta_R (0) [(1 - (T/T_{c1})^2)]$$

$$\rightarrow \Delta_R (0) = 9.5 \text{ meV}$$

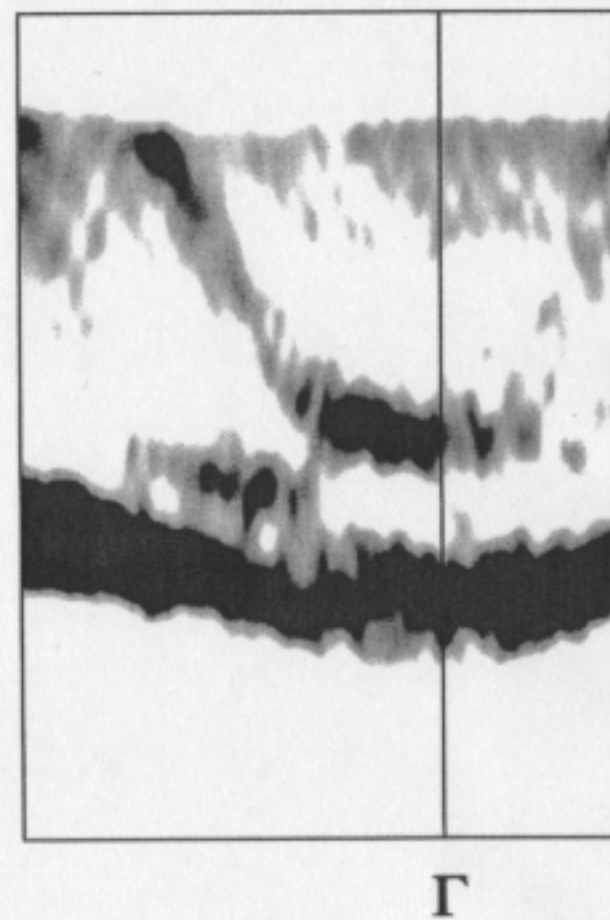
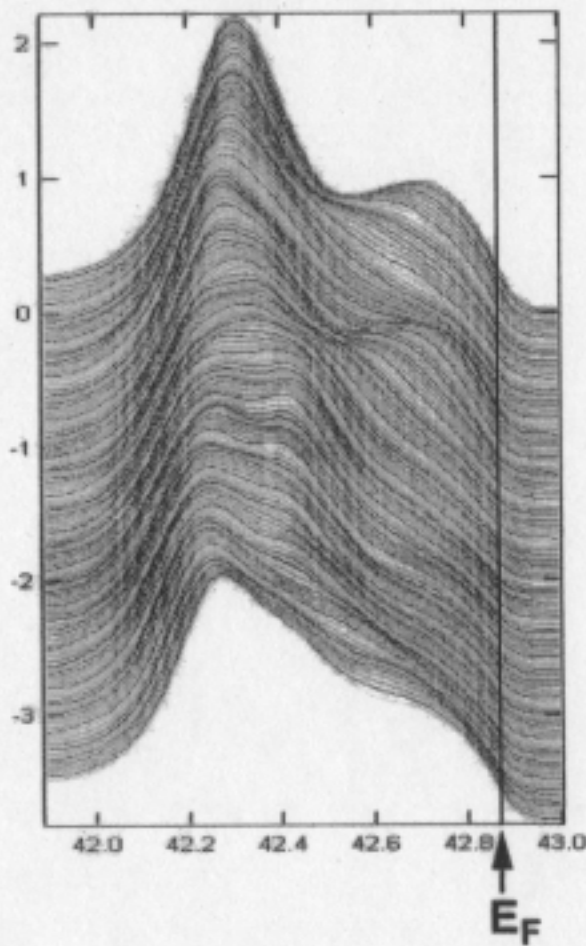
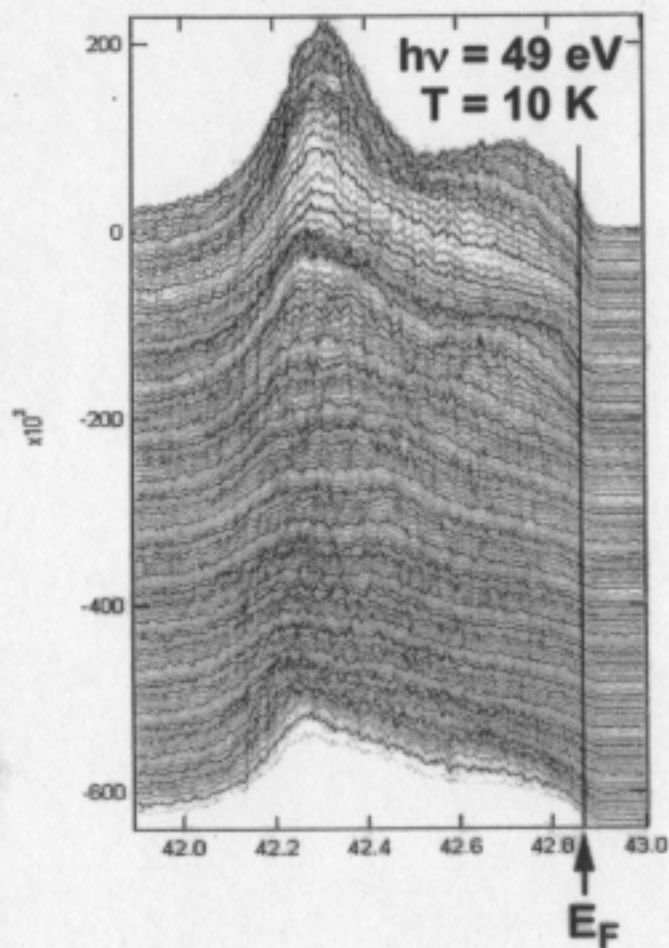
Nesting vector: $q_1 = (0, 0.23b^*, 0)$

ARPES of γ - Mo_4O_{11}

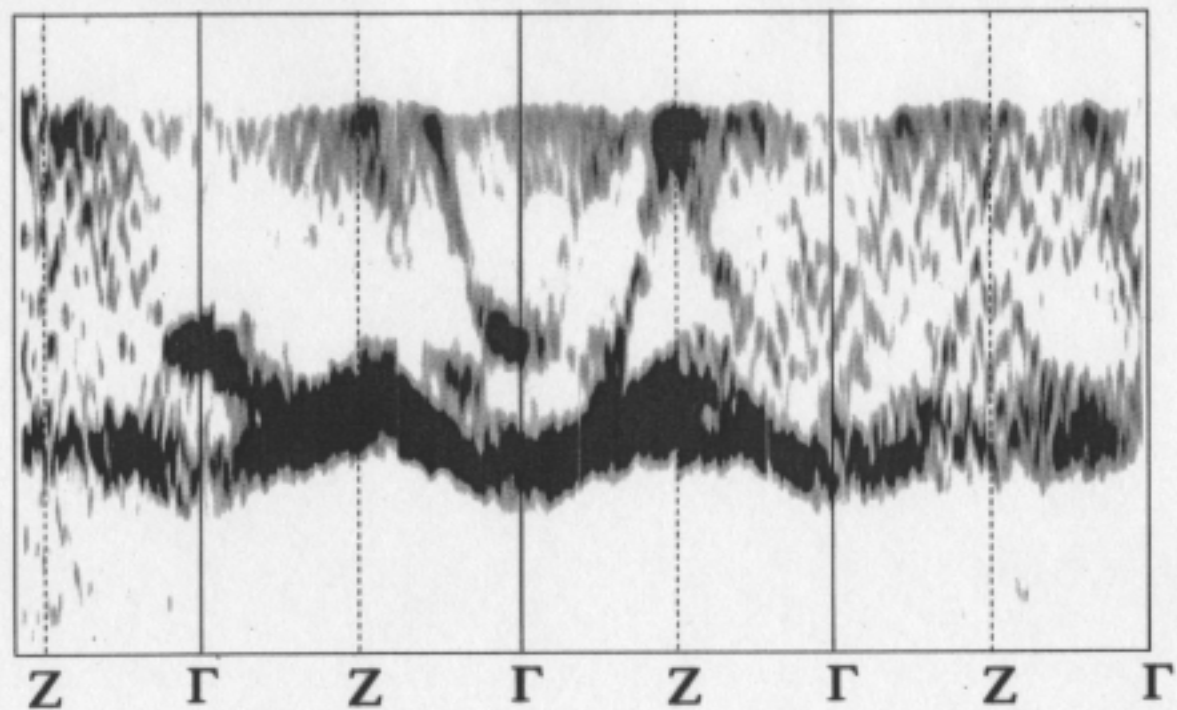
raw spectra
along Γ -Z (c^*)

smoosed spectra
normalized by area

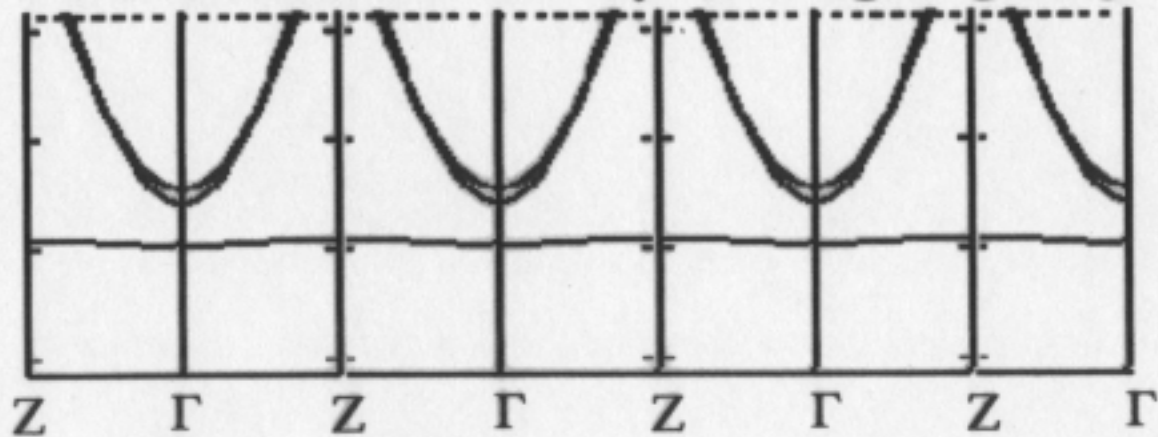
10.88 degree



Dispersion curve of $\gamma\text{-Mo}_4\text{O}_{11}$ along c^* -axis



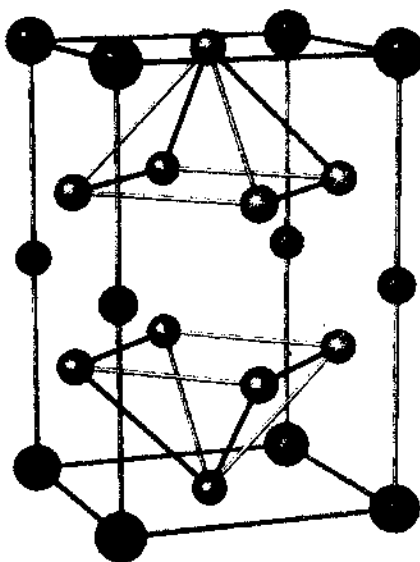
Calculated curves by Whangbo group



CeIn₅ : quasi-2D Ce compounds

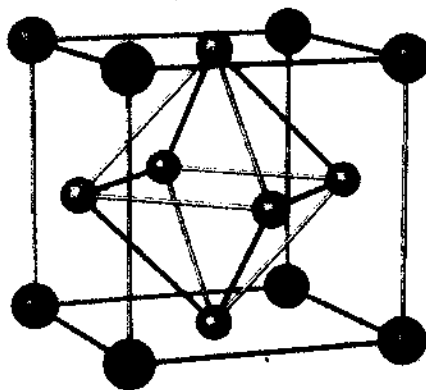
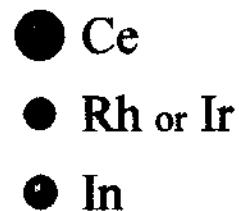
crystal structure

CeRhIn₅, CeIrIn₅



HoCoGa₅-type structure

CeIn₃



AuCu₃ structure

lattice constants

CeIn ₃	$a=4.689\text{\AA}$
CeRhIn ₅	$a=4.652\text{\AA}, c=7.542\text{\AA}$
CeIrIn ₅	$a=4.666\text{\AA}, c=7.517\text{\AA}$

- quasi-two-dimensional electronic structure
- CeRhIn₅ experiences a chemical pressure of ~14kbar relative to CeIn₃
- CeIrIn₅ corresponds to the pressure-induced CeRhIn₅

Experimental

- **Samples**

- single crystals (dimensions of $\sim 2\text{mm} \times 2\text{mm} \times 2\text{mm}$)
 - grown by **self-flux method**
 - cleaved *in situ*

- **Photoemission experiments**

1. angle-resolved photoemission experiments

- BL-23SU PES station @Spring-8

- He I ($h\nu = 21.2 \text{ eV}$), He II ($h\nu = 40.8 \text{ eV}$)

- energy resolution : 15 meV

- sample temperature : $\sim 15 \text{ K}$

2. angle-resolved resonant photoemission experiments

- HiSOR BL-1

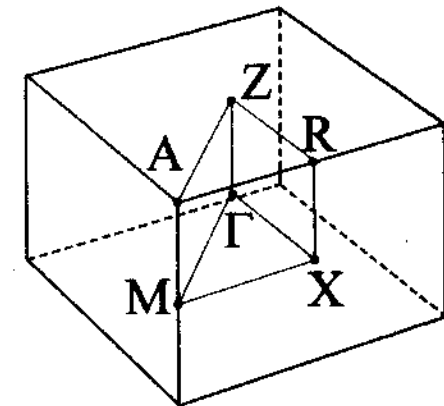
- $h\nu = 122 \text{ eV}$ (on-resonance), $h\nu = 115 \text{ eV}$ (off-resonance)

- energy resolution : 30 meV ($h\nu = 122 \text{ eV}$),

- 50 meV ($h\nu = 115 \text{ eV}$)

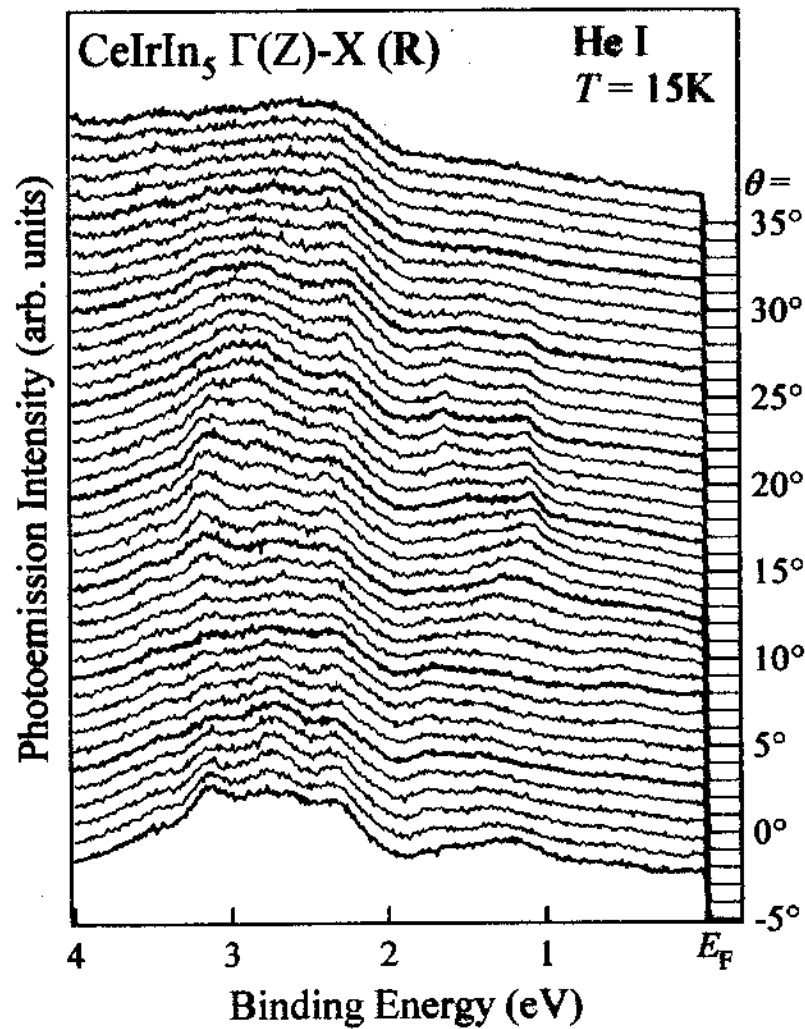
- sample temperature : 10 K

Brillouin zone

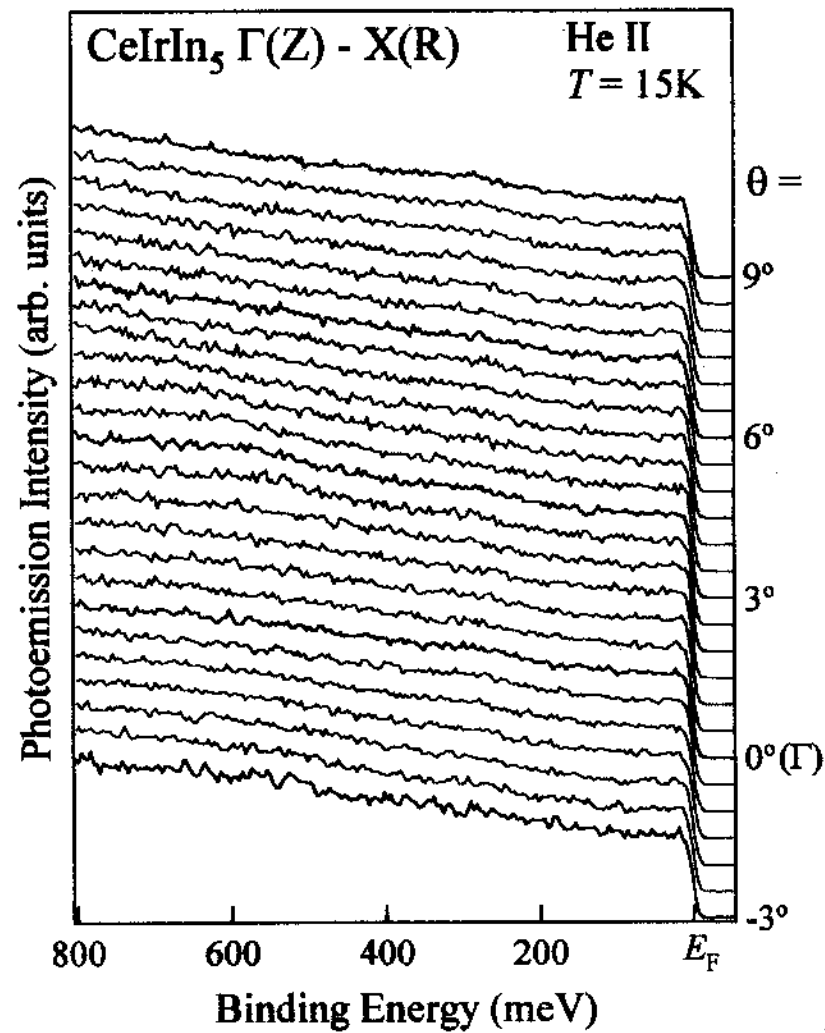


CeIrIn₅ : ARPES (He lamp)

He I

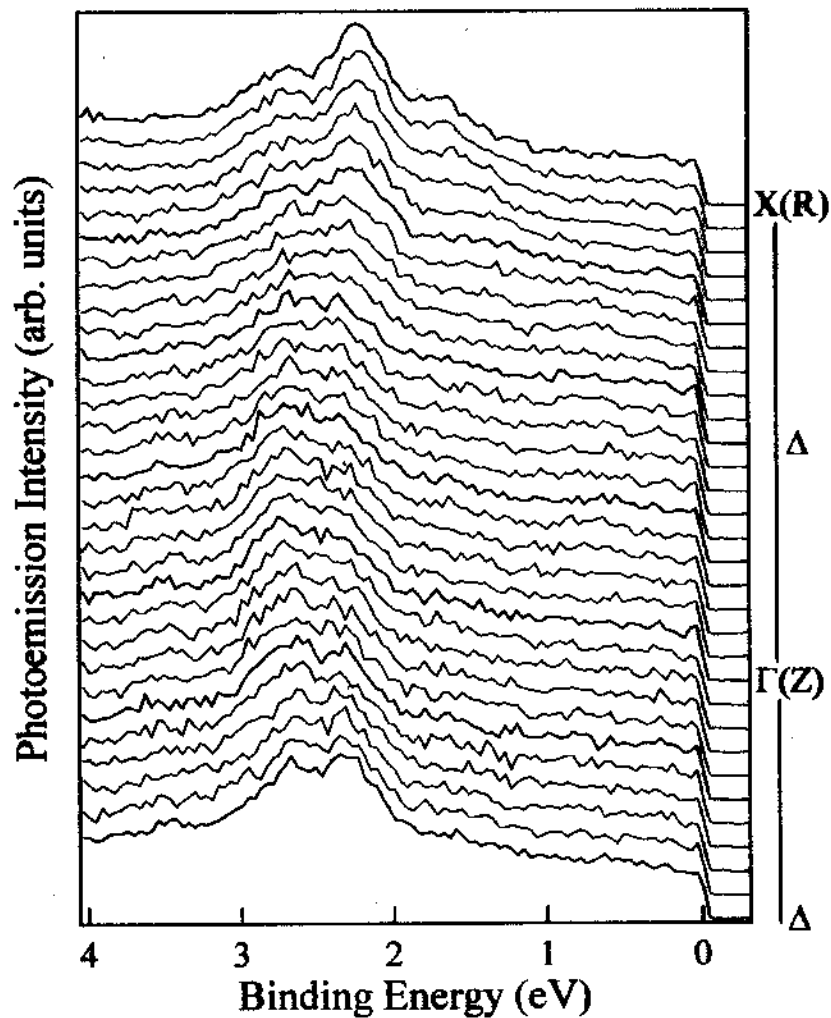


He II

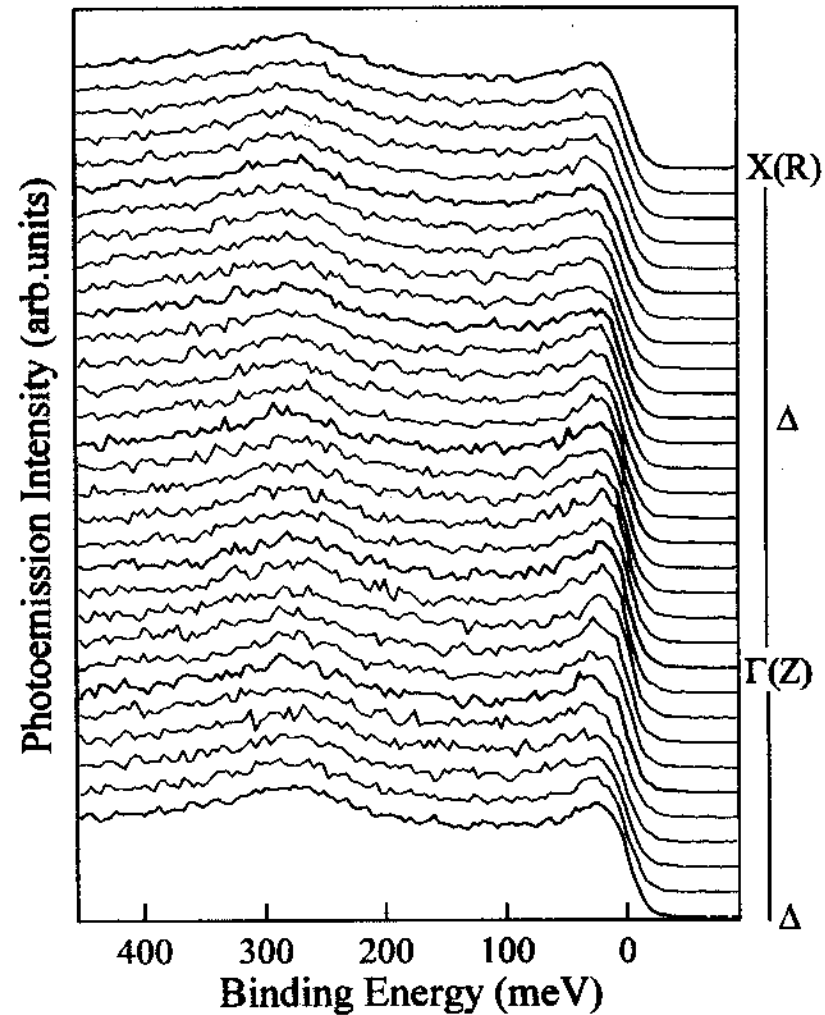


CeIn₅ : $4d-4f$ resonant ARPES (HiSOR BL1)

off-resonance



on-resonance (near E_F)





広島大学放射光科学研究センター

HiSOR挿入光源

BL-1

$h\nu = 26 \sim 300 \text{ eV}$

BL-9

$h\nu = 4 \sim 40 \text{ eV}$

$\Delta E \sim 5 - 20 \text{ meV}$

高分解能極低温角度分解
光電子分光実験

SES2002, ESCA200

温度：7 K ~ RT

エネルギー分解能：2 - 4 meV

角度分解能： $\pm 0.1^\circ$

高分解能光電子分光
による物性研究

新物質開発

理論